

МИНИСТЕРСТВО ГЕОЛОГИИ СССР
ОРДЕНА ТРУДОВОГО КРАСНОГО ЗНАМЕНИ
ВТОРОЕ ГИДРОГЕОЛОГИЧЕСКОЕ УПРАВЛЕНИЕ

Уч. № 050

ГЕОЛОГИЧЕСКАЯ
КАРТА СССР

МАСШТАБ 1:200 000

СЕРИЯ ДЖУГДЖУРСКАЯ

Лист №-53-Х (с клапаном № 53-ХI)

Объяснительная записка

Составитель *В.И.Черняевский*
Редактор *В.М.Моралев*

Утверждено Научно-редакционным советом Всегем
18 апреля 1968 г., протокол № 14

ВВЕДЕНИЕ

Территория листа расположена в пределах юго-западного окончания хр. Прибрежного (Западное Приохотье). Она ограничена координатами $54^{\circ}40' - 55^{\circ}20'$, северной широты и $135^{\circ}00' - 136^{\circ}12'$, восточной долготы. Юго-восточной границей площади является береговая линия Охотского моря. В административном отношении территория принадлежит Тугуро-Чумканскому району Хабаровского края.

Территория относится к числу труднодоступных горно-таежных районов и обжита очень слабо. Три населенных пункта (села Чумкан, Алагазы, Неран) расположены в ее южной части, в долине р.Уда. Пути сообщения, за исключением редких троп, притоных для передвижения вынужденного транспорта, отсутствуют. Реки для передвижения на лодках непригодны. Только по р.Уда возможно движение на оморошках, моторных лодках и периодически на каноэах с осадкой до 0,5 м.

Рельеф территории низкогорный с участками среднегорного, сильно расщлененный. Главным орографическим элементом является хр.Прибрежный. Он протягивается в северо-восточном направлении почти через всю территорию. Высота хребта в осевой части достигает 900-1100 м. Максимальные абсолютные высоты 1466 и 1482 м. Преобладание абсолютные высоты 500-900 м. Для большей части хребта характерны мягкие очертания водораздельных гребней с куполовидными вершинами и неглубокими плоскими седловинами. Рельеф Прибрежного хребта к западу от р.Кирен и небольшой его части по левобережью этой реки отличается амплиотипным обликом – крутое склоны и острые водораздельные гребни. На юго-востоке к отрогам Прибрежного хребта примыкает предгорная расщелинная равнина. Она прослеживается вдоль берега моря, в юго-западном направлении от устья р.Мал.Джалон, в виде непрерывной полосы шириной 5-9 км. Предгорная равнина представляет собой

совокупность высоких террас и денудационных поверхностей, расположенных долинами рек и ручьев. Высота ее колеблется от 60–100 м у берега моря до 200 м в прислоновой части. Общий уклон поверхности в сторону моря не превышает $3-4^{\circ}$, сончно же – сколько 1° . Для рельефа равнины характерно сочетание плоских, реже пологово-волнистых, заболоченных водораздельных поверхностей шириной 2–3, местами 4–5 км и глубоковрезанных долин. Южную часть территории занимает низменная равнина, образованная системой широко развитых террас р.Уды и ее притоков. Ширина равнины достигает 20–25 км, абсолютные отметки колеблются в пределах 5–61 м. Большая часть ее имеет высоту 40–60 м над уровнем моря.

Береговая линия Охотского моря в облем параллельна хр.Прибрежному. От южной границы территории до мыса Черного берег равнинный, низменный, высотой до 30 м, далее до мыса Манорского – равнинно-высокий со скальными обрывами высотой 10–80 м. От мыса Манорского до северной границы территории листа берег гористый с крутыми, передко вертикальными обрывами высотой 100–300 м.

Речная сеть территории принадлежит бассейну Удской губы Охотского моря. Все реки горные. Большинство из них незначительны по протяженности, с быстрым течением (до 2,5–3 м/сек), многочисленными перекатами и порогами, небольшими глубинами (0,1–0,8 м, реже до 1–1,5 м – на перекатах и 0,8–2 м, реже до 3–5 м – на пlesах), невыработанным продольным профилем долин. Наиболее крупными реками являются Уда, Дана, Кирсан. Они обладают более спокойным течением и лучше выработанным профилем. Питание рек происходит за счет атмосферных осадков и талых снеговых вод. В южной части территории встречаются довольно многочисленные термокарстовые озера, приуроченные к долине р.Уды. Наиболее крупные из них имеют размеры 1–2,5 км² (Букуё, Саарго).

Климат, несмотря на близость моря, континентальный. Он характеризуется значительными годовыми колебаниями температуры от 15°, реже 20–30° в июле – августе до -25 , -30° в январе – феврале. Безморозный период продолжается от 80 до 122 дней. За год выпадает в среднем 400–776 мм осадков, большая часть которых приходится на теплый период (май – сентябрь). Лето дождливое с туманами. Зима ясная, малооснежная. Снег выпадает в октябре и ставает в конце мая. На побережье снег держится до начала июня. Местами в наиболее глубоких долинах и в приводораздельных частях хребтов снег сохраняется все лето.

Лесами покрыто более половины территории листа. Остальная ее часть занята гарям, тольвой растительностью, зарослями

кедрового стланника, значительно реже – болотами и лугами (под ма р.Уды). Основные площади лесов сосредоточены в низкогорной северо-восточной части территории, на предгорной равнине и в долинах рек Уды и Дана. Леса занимают днища долин рек и склоны гор до высоты 600–700 м. Основными лесообразующими породами являются лиственница, береза, ель, в долинах рек к ним примешиваются тополь, ольха, ива, чозения. Выше пояса лесной растительности склоны и водоразделы покрыты мхами, лишайниками и кедровым стланником, образующим местами густые труднопроходимые заросли. Среди кустарников встречаются также береска Миддендорфа и Кустарниковая ольха.

Население общей численностью 1800 человек сосредоточено на юге территории в селах Чумикан, Неран и Алгазия. Кроме того, на контрольных пунктах Аятыкан, Кирсан, Джалон и Налек проживает несколько семей связистов, обслуживающих линии телеграфно-телефонной связи Хабаровск – Магадан. Линия связи пересекает всю территорию на расстоянии 2–4 до 20 км от берега моря.

Территория характеризуется удовлетворительной обнаженностью. Наибольшее количество обнажений приурочено к нижним частям склонов долин рек, значительно реже они встречаются в приводораздельных частях склонов и на водоразделах. Морские береговые обрывы представляют собой сплошные обнажения.

Первые геологические исследования территории листа относятся к середине и концу прошлого века (А.Ф.Миддендорф, Н.Т.Мелицкий, К.И.Богданович). Они носили маршурутный характер. Большество маршрутов проходило вдоль морского побережья и редко – по долинам крупных рек (К.И.Богданович). В 1936 г. вдоль побережья Удской губы к югу от р.Салагат прошел маршрут А.В.Ульянова (ВИГРИ). В 1937 г. северо-восточная часть территории до мыса Салагат была охвачена геологической съемкой масштаба 1:500 000, произведенной Н.К.Трифоновым (1938ф). В бассейне рек Антикан, Бароаш и левых притоков р.Уда в 1949 г. проведены геологические работы масштаба 1:500 000 Н.А.Раковым (ДВГУ). В том же году Торомская геологическая партия В.А.Ярмошкина (ДВГУ) провела работы в масштабе 1:1 000 000 в самой южной части территории. В 1950 г. в бассейне р.Кирсан производила работы масштаба 1:200 000 Кирсанская геологоприсковая партия Амурской геологоразведочной конторы спектральщик МЕД под руководством Г.Н.Чертовских (Ключанский, 1953ф). Площадная геологическая съемка масштаба 1:200 000 значительной части территории листа была произведена в 1951 г. Л.И.Красным и Д.Ф.Чемековым (ВСЕГИ). Самая южная часть территории была охвачена работами Н.К.Осипова,

которая составила геологическую карту этого района в масштабе 1:200 000 (Остапова, 1954ф).

В результате перечисленных работ были в основном разработаны стратиграфия палеозойских и мезозойских отложений, схема интрузивной деятельности, а также наметилась определенная металлогеническая специализация интрузивных комплексов в районе хр.Прибрежного. Было установлено, что медная, полиметаллическая, медно-молибденовая и железорудная минерализации генетически связаны с мезозойскими интрузиями.

Большое значение для познания геологического строения района хр.Прибрежного имели работы Л.И.Красного. Им была подробно изучена и описана под названием джелонской свиты мощная толща мезозойских осадочно-вулканогенных образований, выполненная северо-восточную часть Улского наложенного прогиба. Названые синты дано по рекам Бол. и Мал.Джелон, в бассейне которых были встречены ее наиболее полные разрезы. Л.И.Красный различил свиту на три подсвиты: нижнюю – осадочно-туфогенную, среднюю – туфогенную и верхнюю – существенно лавовую (Красный, Чемяков, 1952ф). В результате последующих работ (Гольденберг, 1958ф; Зубков, 1958ф; Красный, 1960 ; Чернявский и др., 1961ф) средняя и верхняя подсвиты были объединены в одну верхнюю (вулканическую) подсвиту. В настоящее время джелонская свита разделена на две свиты (Чернявский, Ленгтан и др., 1965ф). Нижняя джелонская свита сохранено за более мощной нижней (осадочно-туфогенной) подсвитой, а верхняя (вулканическая) подсвита отнесена к немедужанская свите (выделена А.Л.Станевым в 1961 г.) нижнего мела, имеющей широкое распространение к северу и северо-востоку от территории листа. Основанием для такого разделения является различия в вещественном составе и возрасте (верхняя края – низы нижнего мела, нижний мел) подсвит, наличие размыва и угляного несогласия между ними и их большая мощность (1300 и 700–800 м). К низам джелонской свиты, как фации осадочно-туфогенных пород, Л.И.Красным (Красный, Чемяков, 1952ф; Красный, 1960) смыта отнесена под названием "учкаваской фауни" континентовая толща, разъятая в бассейне рек Бол.Джелон, Бонгай и Мал.Бонгай (Бол. и Мал.Учкавай на топографических картах до 1955 г.). Но еще в 1851 г. Н.Г.Мельникoff (Мельников, 1893) и в 1937 г. Н.К.Трифонов (1938ф) правильно указывали на то, что континентальная, встречающаяся в районе Прибрежного хребта, залегает стратиграфически выше всех известных здесь вулканических образований среднего состава. Это подтверждено также работами 1959 г. (Гольденберг и др., 1960), 1960–1964 гг. (Чернявский и

др., 1961ф, 1965ф), 1963–1964 гг. (Королев, 1964).

В основу геологической карты и карты полезных ископаемых положены материалы геологической съемки и поисков масштаба 1:200 000, проведенных партиями № 430 и 1021 Второго гидрографического управления в 1960 и 1963–1964 гг. (Чернявский, Карадлов и др., 1961ф; Чернявский, Ленгтан и др., 1965ф). Эти работы производились с использованием материалов аэромагнитной съемки масштаба 1:200 000 (Херувимова и др., 1957ф), которой охвачена лишь малая часть района до 55°00' с.ш. и аэрофотоснимков масштаба 1:60 000–1:65 000. Аэромагнитной съемкой, судя по карте гравийков А ТА и схеме их интерпретации (см.рис.3), в пределах территории выявлено всего три неизначительных аномалии: над интрузивным массивом гранодiorитов в бассейне р.Кира и двумя небольшими разрывными нарушениями северо-восточного простирания. В пристенных частях долин рек Уда и Кира были поставлены электроразведочные работы (вертикальное электрозвондирование, электрорефлектирование), в задачу которых входило определение мощности рыхлых отложений, характера и площади распространения многолетней мерзлоты. В пристенной части долины р.Уда пройдены две скважины колонкового бурения глубиной 92 м (с.Чумка) и 100 м (с.Алгазия). Скважин пройдены с целью определения мощности рыхлых отложений, характера и площади выполненных долину р.Уды, изучения водносности рыхлых отложений и постигающих их коренных пород, определения мощности и характера многолетней мерзлоты, выяснения состава и возраста коренных пород.

При составлении геологической карты и объяснительной записки к ней частично использованы материалы геологических работ масштаба 1:200 000, проведенных в 1951 г. в районе хр.Прибрежного партией всем под руководством Л.И.Красного (Красный, Чемяков, 1952ф), а также учтены результаты исследований, проведенных в 1951–1964 гг. на соседних территориях (Гольденберг, Зубков, Красный, Чернявский).

При составлении геологической карты территории листа выявились следующие неувязки с соседними к северу листами:

1. Развитие на территории листа №-53-ЛУ, к северу от изученной пломбы, континентальные в бассейне р.Бол.Джелон В.Ф.Зубковым (1962) отнесены к низам джелонской свиты. Эти породы простираются на территории листа №-53-Х,ХI, где с размытом и угловым несогласием залегают на породах верхней краи – нижнего мела (джелонская свита). На этом основании они отнесены нами к мерикоиской свите нижнего мела.

2. Гранитоиды, слагающие крупный интрузивный массив в бассейне рек Мелля и Бол.Джелон, на территории соседнего к северу листа (Н-53-IV) по возрасту отнесены к нижнему мелу. Но выше определения абсолютного возраста пород из этого массива позолтили датировать его верхним мелом.

3. На геологической карте В.Ф.Зубкова (лист Н-53-IV, 1962), в ее юго-западной части, отсутствует крупное разрывное нарушение, по которому в исследованном районе породы нижнего протерозоя надвинуты на єфузиты верхней подсвиты джелонской синты верхней при - нижнего мела.

4. У северной границы территории листа Н-53-X,XI в бассейне рек Бол. и Мал.Джелон развиты єфузивные образования верхней подсвиты джелонской свиты верхнедворского - нижнемелового возраста. На схожей к северу территории листа Н-53-U, VI эти образования относятся к неманьской свите нижнего мела (Чернявский, Левитан и др., 1965).

СТРАТИГРАФИЯ

В геологическом строении описываемой территории принимают участие протерозойские, палеозойские, мезозойские и палеогеновые (?) образования, а также раковые четвертичные отложения.

Метаморфические породы протерозойского возраста имеют весьма ограниченное распространение. Широкое развитие имеет мезозойские толщи осадочно-туфогенных и вулканогенных пород. Палеогеновые (?) породы слагают единичные субєфузивные тела (лайки). Отложения четвертичной системы развиты повсеместно. Они представлены склоновыми, речными, ледниковыми и морскими генетическими типами.

НИЖНИЙ ПРОТЕРОЗОЙ

К у м а н с к а я с в и т а (Рт₁, Pt₂). К наиболее древним образованиям территории относится толща метаморфических пород, слагающая участок площадью около 3 км² на водоразделе рек Киркакан и Талакан в северо-западной части листа.

Изучение этого участка показало, что здесь метаморфические породы, представленные плагиогнейсами, полностью инъецированными гранитоидами и кварцевыми жилами древнестанового (раннепротерозойского) интрузивного комплекса, круто (70–80°) надвинуты на

порфириты и туфы верхней половины джелонской синты верхней юры – нижнего мела. Надвиг произошел по крупному разрывному нарушению, которое входит в систему разрывов, образующих в южной окрестности Джугджурской глубинной разлом (Моралев, 1962). Он сопровождается зоной смятия шириной более 2 км, в пределах которой в результате дислокационного метаморфизма породы толщи интенсивно рассланцованны, а также миллиметризованы и катаклизированы, иногда настолько сильно, что превращены в миллиметры и катаклизиты. В гнейсах хорошо выражена сланцеватость, имеющая выраженное круглое (50–80°) северо-западное падение.

Характерной особенностью строения метаморфической толщи является незакономерное, местами частое чередование гнейсов с многочисленными межплагиоцластовыми инъекциями жильных пород, миллиметровыми и катаклизитами. Мощность межплагиоцластовых инъекционных прожилков, жил и даек – от нескольких миллиметров до десятков метров. Миллиметры и катаклизиты слагают участки линзообразной и неправильной формы площадью до 0,2–0,4 км², реже до 0,6 км². Переход между ними и плагиогнейсами нередко постепенный. В связи с несочетательными размерами плагиоцластами развиты метаморфические породы и ее сравнительно слабой обнаженностью, а также интенсивно проявленными наложенными процессами динамометаморфизма, изменявшими первоначальный облик пород, составить стратиграфический разрез толщи не оказалось возможным.

Плагиогнейсы – породы светлого зеленовато-серого цвета со сланцеватой текстурой. Гладкие поверхности рассланцевования напоминают зеркала скольжения и обладают параллельной штриховкой. Структура бластокатакластическая, бластомилонитовая, микротрансформационная, микролепидогранобластовая, местами порфиробластовая. Гнейсы состоят из мелких (0,05 мм) изометрических, реже угловатых, зерен олигоклаз-андезина или андезина (50–60%), кварца (30–40%) и листочков мусковита (до 10%). Параллельное расположение последних подчеркивает сланцеватую текстуру породы. Среди микрозернистых масс породы встречаются порфиробласты андезина № 33 (15%) размерами 0,2–0,5 мм, которые часто раздроблены и имеют угловатые очертания.

Миллиметры – светло-серого, нередко розовато-серого цвета породы с крупноэчковой сланцеватой текстурой, бластомилонитовой, микротрансформационной и порфиробластовой структурой, состоящие из агрегата мелких (0,05 мм) изометрических зерен плагиоклаза и кварца с неровными контурами. Бластез выразился также во вторичной расстигализации кварца в виде тонких (0,05 мм) простой-рифтовых полос. Порфиробласты (до 50%) представлены раздробленными зернами

микроклина и андезина размерами 1–5 мм, редко до 2–3 см. Они обладают изометричной или линзовидной, реже угловатой, формой и плавно обтекаются основной массой, образуя очковую текстуру.

Катаклазиты – породы зелено-вато-серого цвета с неясно выраженной полосчатостью, катакластической и порфирикластической структурой. Порфирикласты (70%) представлены микроклином, плагиоклазом и кварцем. Масса, цементирующая порфирикласты, гранокластическая, местами микротранзистовая, состоит из микрозернистого агрегата кварца, полевых шпатов и минералов эпилест-доломитовой группы.

Видимая мощность толщи метаморфических пород, имеющей преобладающее распространение за пределами территории, составляет, по мнению В.Ф.Зубкова (1962), 1500–2000 м.

Породы описанной метаморфической толщи принадлежат куменской свите, которая входит в состав Уджинской серии нижнего протерозоя Становского-Джулькура, выделенной В.Н.Можкиным (1956ф). К северу от описываемой территории куманская свита перекрыта метаморфическими породами ладинской свиты этой же серии нижнепротерозойского возраста (Зубков, 1962). Нижний возрастной предел не ясен. Возраст пород куманской свиты большинством исследователей считается нижнепротерозойским (Можкин, 1958, 1959, Зубков, 1962).

ДЕВОНСКАЯ СИСТЕМА

Отложения, условно относенные к девонской системе, в пределах описываемой территории представлены двумя толщами нижне (?) – и верхнедевонского (?) возраста. Выходы пород толщ пространственно разобщены.

Н и ж н и й о т д е л ? (D₁ ?)

Отложения условно нижнедевонского возраста встречены на очень небольшой площади (2 км²) в юго-западной части района. Они обнаруживаются на склонах останцовой возвышенности с абсолютной отметкой 121 м в 4 км южнее с. Чумикан и на участке юго-восточного берега оз. Букуё. Основная площадь развития этих пород находится на соседних к югу территориях. Толща в пределах южного прогиба перекрыта мезозойскими и четвертичными образованиями. Буровая скважина в с. Чумикан вскрыла породы толщи на

глубине 59 м, где они залегают под осадочно-туфогенными породами нижней подсвиты джелонской свиты верхнеморско-нижнемелового возраста.

Толща сложена кремнистыми линзовидными породами, линзами, диабазами, диабазовыми и базальтовыми порфириитами, туфами, мощными линзами и прослоями мраморизованных известняков. Перечисленные породы залегают моноклинально и характеризуются крутым (70–80°) юго-восточным падением. Мощность пластов, покровов и линз колеблется от 20–50 до 100–200 м. Ввиду плохой обнаженности непрерывный разрез описать не удалось. Видимая часть разреза отложений нижнего девона (?) в районе высоты 121 м выглядит следующим образом (снизу вверх):

1. Кремнистые породы светло-серого и розово-	50 м
2. Диабазы рассланцеванные, диабазовые и ба-	
зальтовые порфирииты, туфы с пластами и линзами	
3. Кремнистые, иногда яшмовидные, массивные	170 "
породы серого цвета	180 "
4. Мраморизованные известняки, массивные,	200 "
светло-серые и пятистые	
5. Яшмы красновато-бурового цвета и пятистые	
кремнистые породы серого цвета с покровами рас-	
слюдистых диабазов, прослоями и линзами мрамори-	
зованных известняков мощностью 20–50 м	200 "
6. Пачка переслаивания, аналогичная пачке 2.	
Мощность прослоев и линз 80–100 м	500 "
Общая мощность по разрезу 1300 м.	

В отличие от приведенного разреза нижнедевонские (?) об разования, вскрытые Чумиканской скважиной, представлены преимущественно кремнистыми породами и яшмами с реликтами радиолярий, а на юго-восточном берегу оз. Букуё преобладают диабазы с линзами мраморизованных известняков. Небольшой фактический материал не позволяет с уверенностью судить о распределении пород толщи по разрезу, однако создается впечатление, что в верхах толщи увеличивается количество и мощность покровов диабазов.

Кремнистые яшмовидные породы светло-серого, серого, красновато-бурового цвета, массивные, состоят из кристаллического кварца и халцедона с гнездами и прожилками мелкокристаллического кварца, иногда с большим количеством тонкодисперсного гематита, содержание которого может достигать 20–30%. Структура

криптокристаллическая, часто микрокристаллическая, иногда конкретночная. Последняя обусловлена сферическими образованиями халцедона и гематита. Местами породы в результате сплошной перекристаллизации превращены в кварциты с мозаичной структурой.

Литмы — массивные породы красновато-бурового цвета, состоящие из криптокристаллического кварца и халцедона с примесью тонкодисперсного гематита. Характерной особенностью является присутствие реликтов радиолярий, составляющих до 15-20% породы. Они представляют собой правильные округлые образования диаметром 0,1-0,2 мм, выполненные халцедоном, нередко с оболочкой из криптокристаллического кварца. Наряду с радиоляриями встречаются звездообразные включения, выполненные халцедоном, с тонкими стенками (0,02-0,1 мм) из криптокристаллического кварца с гематитом. Они иногда разделены на камеры и напоминают органические остатки. Структура литм криптокристаллическая, органогенная.

Диабазы состоят из андезит-лабрадора № 50-55 (40%), моноклинного пироксена-авгита (30%), олинина (20%), рудного минерала и вулканического стекла (10%). Диабазы от мелко- до микрокристаллических с долеритовой, местами микрололеритовой, пойкилобофитовой, диабазовой и колейтовой структурами, иногда с миндалекаменной текстурой. Миндалини (до 1-2 мм в попечнике) выполнены кальцитом. Диабазы массивные, нередко рассланцованные, преимущественно зеленовато-бурового цвета.

Диабазовые порфириты — массивные породы зеленовато-серого цвета с порфировой структурой. Вкрапленники (50%) представлены андезин-лабрадором № 50-55. Основная масса имеет диабазовую структуру и состоит из андезит-лабрадора (50-52%), авгита (40%), рудного минерала (5-7%) и кварца (до 3%). Порфириты очень сильно хлоритизированы.

Базальтовые порфириты зеленовато-бурового цвета с порфировой структурой и миндалекаменной текстурой. Вкрапленники (5%) представлены мелкими (до 0,5 мм) кристаллами основного плагиоклаза. Основная масса толеитовая, местами микрололеритовая, состоит из основного плагиоклаза (50%), моноклинного пироксена (25%), рудного минерала (15%) и хлоритизированного стекла (10%). Миндалини выполнены кальцитом.

Туфы мелкообломочные, литокристаллокластические, бурово-серого, до черного цвета. В буровой пелевой массе, обогащенной окислами железа, заключены обломки (0,05-0,1 мм)

криптилов андезин-лабрадора, моноклинного пироксена, рудного минерала и единичные обломки сильно серпентинизированных и карбонатированных пород. Кроме того, встречается единичные мелкие (до 0,2 мм) миндалины, выполненные карбонатами и хлоритом.

Мраморизованные известняки — массивные породы светло-серого и серого цвета, состоящие из кальцита. Структура неравномерно-зернистая, гранобластовая, местами ступковая. На отдельных участках сохранилась криптоэзернистая структура. Эти участки имеют расплющивание очертаний и обуславливают спустковую структуру.

Видимая мощность толщи превышает 1300 м. Палеонтологические остатки, кроме недопредельных радиолярий, в нижнедевонских (?) породах не обнаружены. По своему вещественному составу вышеописанная толща близка к красноватой свите и кремнистой толще среднего палеозоя (слитур — нижний девон), выделенным в Тыльском районе В.А.Ярмолюком (1950ф) и С.И.Гороховым (1961ф). В 1966 г. С.И.Горохов условно отнес кремнистую толщу к нижнему девону, параллелизую ее со свитой маса Радужного Шантарских островов (Горохов, Караваев и др. 1965ф), возраст которой в настоящее время считается нижнедевонским. Эффузивные и карбонатно-кремнистые породы территории листа представляют собой единий комплекс пород с кремнистой толщей смежной территории к югу и на этом основании они также условно отнесены к нижнему девону. Но не исключен и более древний их возраст. Так, например, Э.Л.Школьник и Г.В.Беляева (1974) считают возраст описанной толщи кембрийским.

В е р х н и й о т д е л (?)

У с м у н с к а я с в и т а (Д3⁷и). Породы Усмунской свиты слагают сравнительно небольшую площадь (около 60 км²) на севере листа в бассейне р.Итканда. Свита впервые выделена В.Ф.Зубковым (1958ф, 1959ф) на соседней к северу территории, где она залегает с угловым несогласием на фаунистически охарактеризованных песчаниках и алевролитах иткандинской свиты фаменского яруса верхнего девона. На территории листа она перекрыта породами джелонской свиты верхнедевонско-нижнемелового возраста.

Свита сложена диабазами, базальтовыми и андезитовыми порфиритами, лавобрекчиями, редко конгломератами. Строение ее довольно однобразно. В основании иногда присутствуют быстро

клиниватицеся по простиранию линзообразные пласти контгломератов. Обычно самый нижний пласт сложен мелкогалечными контгломератами, имеющими видимую мощность около 20 м, на которых залегают гравийные конгломераты мощностью 60 м (правобережье р.Иканда). Выше залегает пачка чередующихся пластов лавобрекций среднего состава и маломощных (3-5 м) покровов андезитовых порфиритов. Мощность пачки 100-150 м. Эта часть разреза обнажается по левому берегу р.Иканда. Вся остальная часть смыты сложена покровами диабазов и базальтовых порфиритов.

Диабазы - массивные, мелко- и среднекристаллические породы темно-серого цвета с зеленоватым или красно-бурым оттенком. Они состоят из лабрадора № 51-54 (45-50%), аигита (15-55%), иногда оливина (до 10-40%) и рудного минерала (до 15%). Вулканическое стекло в основной массе в значительной степени замещено хлоритом и частично кальцитом. Структура диабазовая, дикаэзово-облитовая, пойкилооблитовая, долеритовая, иногда гололитовая. Текстура нередко миндалекаменная. По химическому составу диабазы относятся к лейкокемеланократовым породам, насыщенным SiO_2 , очень обедненым щелочами, и соответствуют диабазам и оливиновым диабазам, по Р.Дэли (табл. I).

Базальтовые порфириты - афантитовые или мелкокристаллические, миндалекаменные породы темно-серого или красно-бурового цвета с порфировой структурой. Они состоят из основного, сильно сосредоточированного плагиоклаза (50%), моноклинного пироксена или оливина (15-25%) и стекла (25-35%). Вкрашенники (35-40%) длиной от 0,1-0,2 до 0,4-2 мм представлены плагиоклазом и иногда оливином. Основная масса состоит из плагиоклаза, пироксена и стекла. Структура основной массы интерсерптильная, микролитовая. Стекло, как правило, замещено агрегатом минералов эпидот-диопсидовой группы.

Андеозитовые порфириты представляют собой массивные или миндалекаменные породы темно-серого и зелено-серого цвета, характеризуемые порфировой структурой и глаукопилитовой и интерсерптильной основной массой. Встречаются участки перлитовой текстуры. Вкрашенники (20-65%) в основном представлены андезином № 42-48 и очень редко ромбическим пироксеном. Последний нацело замещен рудным минералом и яшмитом. Основная масса состоит из вулканического стекла, замещенного хлоритом, и плагиоклаза.

Лавобрекции - породы с литовито-текстурой светло-коричневого цвета с структурой. Обломки (60-85%) от 0,1 мм до 5-7 см в поперечнике представлены вулканическим стеклом светло-коричневого цвета с редкими (5-15%) микролитами плагиоклаза, андезитовыми порфиритами

Таблица I

Химический состав диабазов усмунской свиты^{X/}

Название породы, место отбора, номер образца	SiO_2	TiO_2	Al_2O_3	Fe_2O_3	FeO	MgO	CaO	Na_2O	K_2O	SO_3	H_2O	П.п.п.	Сумма
Диабаз, левобережье р.Иканда, обр. 67	47,28	1,77	17,00	5,48	5,00	8,48	8,74	1,78	0,48	0,01	0,56	3,74	100,32
Диабаз, правобережье р.Иканда, 2 км западнее высоты 942 м, обр. 637	46,04	1,58	17,06	5,41	5,14	8,93	9,28	1,88	0,42	0,02	1,24	3,46	100,46

Числовые характеристики по А.Н.Заварыцкому

Номер образца	а	с	ъ	с	f'	m'	c'	п	φ	t	a/c	Q
67	4,9	9,6	26,8	58,7	37,3	56,7	5,9	85,1	18,4	2,7	0,5	2,0
637	5,0	9,6	28,5	56,8	35,3	56,8	8,3	88,4	17,3	2,4	0,52	5,9

X/ Химические анализы пород здесь и далее выполнены лабораторией Центрального научно-исследовательского геологоразведочного института.

тамк, туфоловой среднего состава. Связующая масса криптокристаллическая хлорит-полевошпатовая буровато-желтого цвета.

Контроллеры зеленовато-серого и светло-серого цвета, размеры обломочного материала от 1-7 мм (травянистые контроллеры до 2-3 см; хорошо окатаны обломки юр.упинее 5 мм. Обломки (до 50%) представлены алевролитами, мелкозернистыми полимиктовыми песчаниками, реже розовыми гранитами и кварцем. Цемент первона-чально туфовый (вероятно, пегматит), перекристаллизованный в се-рийт-кварцевую массу с микролепидот-гранобластовой структурой.

Видимая мощность свиты более 850 м.

Палеонтологические остатки в породах усмунской свиты не встречены. Свита по возрасту отнесена В.Ф.Зубковым (1962) к верхнему отделу девонской системы предположительно. Основанием для этого послужило то, что в дассенне рек Икканда и Ламля породы этой свиты залегают с угловым несогласием на отложения фаменского яруса верхнего девона (ильинская свита) и с раз-мытым перекрытием контроллерами ахарийской свиты. Возраст по-следней определен В.Ф.Зубковым условно как пермский. Кроме того, В.Ф.Зубков (1962) считает, что эфузивы усмунской свиты анало-гичны основным эфузиям, широко распространенным в толщах сред-него палеозоя Монголо-Охотской геосинклиналии. Но учитывая, что ахарийские контроллеры в настоещее время считаются заведомо меловыми и сопоставляются с мериконским контроллерами нижнего мела, а также большое сходство эфузивов усмунской и джелонской свит, не исключен и более молодой, мезозойский, возраст пород усмунской свиты.

Мезозойские образования представлены мощным комплексом осадочно-вулканогенных пород среднего и кислого состава. Нижние части разреза характеризуются средним составом вулканогенных пород, а верхние представлены кислыми эфузиями. По возрасту они относятся к верхней пре-нижнему мелу, нижнему и верхнему мелу.

ЮРСКАЯ СИСТЕМА. ВЕРХНИЙ ОДЕЛ - МЕЛОВАЯ СИСТЕМА,

НИЖНИЙ ОДЕЛ

Джелионская свита. Осадочно-вулканогенные образования джелонской свиты слагают большую часть территории острова. По вещественному составу свита подразделяется на две под-свиты - нижнюю (осадочно-туфогенную) и верхнюю (вулканогенную).

Нижняя подсвита ($J_3-Og_1 d_1'$). Осадочно-туфогенные образования нижней подсвиты залегают в основании толщи

мезозойского возраста, слагающих почти всю территорию листа.

Они широко развиты вдоль побережья Удокай губы и в южной части терригории (бассейн р.Барбаш, нижнее течение рек Антыкан, Джи-да, Сакагат, Сивак, Огин). В других местах разрозненные и сра-нительно небольшие выходы пород встречаются в глубоко врезанных долинах рек Бонгай, Бол.Джелон, Налек и др., а также в верховых рек Бирракачан, Олгоно и левых притоков р.Икканда, где они приурочены к ядрам и крыльям структур. Подсвита подстилается эфу-зиями верхнего девона (?), развитыми в дассенне р.Икканда.

Скважина в с.Чумкан вскрыла под туфами подсвиты на глубине 59 м отложения нижней подсвиты джелонской свиты с резким угловым и стратиграфическим несогласием залегающими на породах нижнего протерозоя (Черняевский, Левитан, 1965). Породы подсвиты почти повсеместно перекрыты, как правило, с размывом средними эфу-зиями верхней подсвиты джелонской свиты. В северо-восточной части территории подсвиты с угловым и стратиграфическим несог-ласием перекрыты контроллерами нижнемелового возраста. Породы подсвиты прорваны интрузиями нижнего мела.

Отложения подсвиты представлены туфами и туфобрекциями среднего состава, реже туфопесчаниками, туфоалевролитами и уг-листо-глинистыми сланцами. Они характеризуются хорошо выраженной слоистостью, наличием тонкослоистых (от 1-5 до 60-80 см) пачек с фишеподобным переслаиванием пород, широким распространением пелевых туфов, присутствием углисто-глинистых сланцев местами с почками (0,2-10 см, редко до 40-50 см) линзообразными прослоями каменного угля, обогащенностью ряда пластов раститель-ным, нередко углецированным дегритом, среди которого встречаются определимые остатки. Иногда в породах наблюдаются окаменелые и обугленные обломки древесных стволов и ветвей. Мощность пластов и тонкослоистых пачек, нередко имеющих линзообразный характер, колеблется от 1-5 до 100-200 м, реже достигает 300-400 м. Местами в туфах наблюдается косая слоистость, напоминаю-щая слоистость прибрежно-морских и озерных отложений.

Нижняя часть разреза подсвиты сложена разнообразными туфами, туфопесчаниками и туфобрекциями, преимущественно мелко-обломочными (1-5 см). Это подтверждено двумя буровыми скважина-ми, проходившими в устьевой части р.Уда. Аналогичные породы в низах свиты наблюдалась В.И.Тольденбертом (Тольденберг и др. 1960) в районе устья р.Лантарь, где они залегают на размытой поверхности среднедевонских отложений, а также В.И.Черняевским (Черняевский, Левитан, 1965) по левобережью р.Немуй, где их

контакт с находящимися породами нижнего протерозоя вскрыт шурфами. Средняя часть разреза представлена туфами и туфобрекчиями, переслаивающимися местами с тонкослоистыми флишеподобными пачками туфов, туфопесчаников, туфаллеролитов и углисто-глинистых сланцев. Туфобрекчией этой части свиты нередко отмечается крупными (10-20 до 40 см, как исключение до 1-1,5 м) размерами обломочного материала. В некоторых пластах туфобрекчии встречаются до 10-15% окатанного и полукатанного материала. Тонкослоистые пачки с флишеподобным переслаиванием пород, в составе которых принимают участие углисто-глинистые сланцы с прослойками каменного угля, характерны преимущественно для средней части свиты. Они отсутствуют в ее нижней и верхней частях. Максимальная мощность средней части джелонской свиты, содержащей указанную выше тонкослоистые пачки, отмечается в районе междууречья Кирен - Мал.Джелон, где достигает 640-815 м. В северо-восточном направлении от устья р.Мал.Джелон тонкослоистые пачки постепенно исчезают и средняя часть разреза снита преимущественно сложена монотонно переслаивающимися туфами и туфобрекчиями. То же самое наблюдается и к юго-западу от р.Кирен. Строение верхней части подсвиты аналогично средней, но без углисто-глинистых сланцев. Разрез нижней подсвиты в нижнем течении р.Мал.Джелон заканчивается пластом среднеобломочных туфов мощностью 150 м. В связи с разобщенностью обнажений различных частей разреза нижней подсвиты не удалось в зондажном составить ее полный послойный разрез. Один из наиболее полных разрезов подсвиты состоялся по долине р.Мал.Джелон (нижнее течение), где обнажаются (снизу вверх):

1. Пачка тонкослоистых туфов и туфобрекчий (обломки 1-2 см)	5 м
2. Туфобрекчи (обломки 2-12 см, единичные таблы и валуны до 30-50 см) серо-зеленого цвета с линзами и прослойками крупнообломочных туфов. В туфобрекчиях - до 5-10% окатанного материала	300 "
3. Туфы мелкообломочные зеленовато-серого цвета с бурым оттенком	125 "
4. Туфобрекчи (обломки 2-3 см) зелено-серого цвета с бурым оттенком	35 "
5. Туфы среднеобломочные серого цвета с прослойками и линзами туфобрекчий (обломки 0,5-2 см)	75 "
6. Туфобрекчи (обломки до 1 см) серого цвета с желтоватым оттенком	85 "

7. Туфы мелкообломочные зеленовато-серого цвета	20 м
8. Пачка тонкого флишеподобного переслаивающего туфов мелко- и среднеобломочных, пепловых, туфобрекчий (обломки до 1 см) и углисто-глинистых сланцев	12 "
9. Туфобрекчи (обломки 0,5-1 см) серого цвета	100 "
10. Пачка тонкого флишеподобного переслаивающихся туфов мелко- и среднеобломочных, пепловых, углисто-глинистых сланцев, туфобрекчий (обломки до 1-2 см), туфопесчаников с отпечатками	30 "
II. Туфы от средне- до крупнообломочных, зеленовато-серого цвета	42 "
12. Пачка тонкослоистых, тонко-, мелко- и среднеобломочных туфов	25 "
13. Туфы мелкообломочные серо-зеленого цвета	22 "
14. Туфобрекчи (обломки 0,5-1 см) зелено-серого и бурого цвета	75 "
15. Туфы среднеобломочные серовато-зеленого цвета	150 "

Облая мощность по разрезу 1101 м. Стратиграфически выше по разрезу на породах подсвиты залегают эфузивы верхней подсвиты джелонской свиты. К юго-западу от р.Мал.Джелон в направлении р.Ольондо в разрезе резко увеличивается количество пачек с тонким флишеподобным переслаиванием пород.

Туфы - разносторонние по составу (андезитовые, дацитовые) породы от тонко- до крупнообломочных с кластическими структурами. Обломочный материал представлен обломками кристаллов плавикита (олигоклаз-андезин, андезин) и кварца, редко полностью хлоритизированным претитом минералом и калиевым полевым шпатом, а также амфибозами и дацитовыми порфиритами, туфами, разложенным вулканическим стеклом. Размеры обломков колеблются от 0,01-0,09 мм и менее до 0,5-2 мм, реже до 4-5 мм. К пепловым туфам отнесены породы, состоящие почти целиком из обломков вулканического стекла различной формы.

Туфобрекчи - массивные и грубослоистые породы с обломочным материалом размером от 0,5-2 до 10-20 см, редко до 30-60 см, преобладают 2-3 см. Как исключение, размеры отдельных глыб достигают 1 м и более. Цементированная масса (40-60%) состоит из ту-

фов.

Туфопесчаники содержат до 30-80% угловатого, полукатанного, реже окатанного обломочного материала, представленного кварцем, полевыми шпатами, тонкообломочными и пепловыми туфами, разложенным вулканическим стеклом и микрофельзитами. Размеры обломков колеблются от 0,01-0,08 до 0,2-0,8 мм. Цемент базальный, ломкий, содержит от 0,01-0,08 до 0,2-0,8 мм. Цемент базальный, соприкосновения и пор, пелитовый с примесью пепла и чешуек серпилита или кремнисто-карбонатный. Структура псаммитовая, псаммито-алевритовая. Туфопесчаники биотинизированы и хлоритизированы. Туфомелевролиты отличаются от туфопесчаников меньшими размерами обломочного материала.

Углисто-глинистые сланцы, сильно выветренные, тонкосланцеватые, состоят из тонких (не более 0,5 см) чередующихся углистоглинистых и глинистых слоев. В сланцах местами встречаются линзообразные прослои каменного угля мощностью от 0,2-10 до 40-50 см.

Общая мощность нижней подсвиты составляет не менее 1300 м. Разными исследователями в породах подсвиты на территории Амурской области были сделаны представительные сборы многочисленных остатков ископаемых растений, определение которых позволило довольно уверенно судить о возрасте вмещающих их отложений. В 1949 г. Н.А.Раковым (1954) в районе мыса Антыкан были собраны остатки флоры, среди которой Г.Н.Байковской определены *Rhytidophyllum* ковылевое Sew. и *Cladophlebis* (L. et H.) Sew. Эта фтора на основании широких сопоставлений с фторой из юрских отложений Китайской Джунарии, Верхней Буреи и Верхнего Амура, а также обильной фторой из верхнепротерозойских никанских отложений Р.Учур и Буреинского бассейна была отнесена к верхнепротерозойскому — нижнемеловому возрасту. В 1950 г. в районе устья р.Киренской Т.П.Чертовских (Кличанский, 1953) и в 1951 г. между реками Мал.Джелон и Олгондо Л.И.Красным и Ю.Ф.Чемековым (1952) собраны следующие растительные остатки: *Equisetites ferganensis* Sew., *Rhytidophyllum nordenstkioldii* (Heer.) Nath., *Cladophlebis Takezaki Oishi*, *C. cf. fangzuensis* Sze., *C. whitblennius* var. *punctata* Brick., *C. sp.*, *Nilsonia* sp., *Czekanowskia setacea* Heer., *C. rida* Heer., *C. latifolia* Tur.-Ket., *Phoenicopsis speciosa* Heer., *Podozanites lanceolatus* (Lind et Nutt.), *P. cf. angustifolius* (Eichw.) Heer., *P. sp.*, *Carpolites* sp.

Северо-восточнее, в районе устьев рек Бонгай и Мал.Бонгай (Бол. и Мал.Учкавай), Л.И.Красным (1952) в 1951 г. были обнаружены следующие формы: *Rhytidophyllum nordenstkioldii* (Heer.) Nath., *Cladophlebis* cf. *Takezaki Oishi*, *C. acutula* (Heer.)

Fest., *Jinkgolites sibiricus* (Heer.) Sew., *Sphenobalera* sp., *Czekanowskia rigida* Heer., *C. latifolia* Tur.-Ket., *Phoenicopsis angustifolia* Heer.

Определенная эту фтору А.И.Турутанова-Кетова считает, что она верхнепротерозойского возраста. Аналогичная ископаемая флора была собрана Л.И.Красным и Г.С.Ганелиным в 1951 г. по долине р.Уды (район с.Удского) и на р.Нем из тех же пород нижней подсвиты Джелонской свиты. М.И.Брик и А.Н.Криштофорович считают, что эти растительные остатки имеют облик молодых проклятий фтор не старше средней юры, но могут характеризовать и низы мела (вейлд), так как они обнаруживают большое сходство с амурской, буреинской и нижнемеловой фторой (*Cladophlebis Takezaki Oishi*) Японии (Красный, 1960). В 1960 г. В.И.Чернявским, В.Б.Карауловым, Э.Я.Власовым и В.Н.Трушиным в нижнем течении р.Мал.Джелон и в морских береговых обрывах между устьями рек Олгондо, Луктак и Сивак были собраны растительные остатки (Чернявский, Караулов и др., 1961): *Rhytidophyllum ex gr. nordenstkioldii* Heer., *Cladophlebis williamsenii* Brong., *C. aff. haliburnensis* (L. et H.) Sew., *Nilsonia mediana* (Leck.) Fox. Stz., *Czekanowskia rigida* Heer., *Podozamites angustifolius* (Eichw.) Heer., *Schizolepis* sp.

Определенный фтору В.А.Вахрамеев отмечает, что установленные виды имеют широкое вертикальное распространение, встречаясь от средней, а иногда и от нижней юры до нижнего мела включительно. Известно, что для средней и верхней юры (до нижневолжского яруса включительно) якутии и в частности Южно-Алданского бассейна характерно широкое распространение *Variabilis diamensis* Sew. Отсутствие этой формы в сороках из Джелонской свиты является ко-свенным признаком, который может указывать на возраст более молодой, чем нижневолжский. *Cladophlebis Takezaki Oishi*, имеющийся в сороках Л.И.Красного и Ю.Ф.Чемекова из Джелонской свиты, известен в нижнемеловых отложениях Японии. Исходя из этого В.А.Вахрамеев приходит к выводу, что возраст Верхней подсвиты ($J_3 - Gr_1 d\ell_2$). Среди того мезозойского возраста пулькантенные образования среднего состава верхней подсвиты Джелонской свиты пользуются наибольшим распространением. Ими сложена большая часть территории листа. Верхняя подсвита с размывом, резким угловым и стратиграфическим несогласием залегает на дномозойских породах фундамента. На породах нижней подсвиты она залегает с небольшим угловым несогласием и размытием.

Граница между подсвитами неровная, местами с карманообразными заливами. Это хорошо видно в береговых обрывах к северо-востоку от устья р.Мал.Джелон.

Несогласное залегание наблюдалось также по левобережью р.Бол.Джелон близ устья и по долине р.Салагат, где породы нижней подсвиты падают в икном, а верхней — преимущественно в северном направлении. К северо-востоку от мыса Манорского, а также в долинах рек Салагат и Левый Антыкан породы нижней подсвиты имеют субмеридиональное простирание, а верхней — субширотное. По левобережью р.Иккана верхняя подсвита залегает на нижней с неизначительным ($10-15^{\circ}$) угловым несогласием или подстилается породами усомунской свиты верхнего девона (?). Более резко несогласие между подсвитами выражено на территории смежного к северу листа № 53-Уг. Некоторые исследователи (Л.И.Красный, В.Ф.Зубков и др.) считают, что подсвиты залегают между собой согласно. Породы подсвиты прорваны интрузиями нижнего и верхнего мела.

Подсвита сложена андезитовыми и дацитовыми порфиритами, даики туфоловами, туфами и туфобрекчиями. В отливе от нижележащей подсвiti в верхней отсутствуют тонкослоистые пачки с флишево-подобным переслаиванием пород, углисто-глинистые сланцы, не встречаются исколпаемые растительные остатки, очень редко встречаются пепловые туфы и широко развиты покровы андезитовых и дацитовых порфиритов. Иногда породы верхней подсвiti имеют миндалекаменный облик. Поры и миндалини окружной и неправильной формы разбросаны от долей миллиметра до 1-2 см в поперечнике и обычно выполнены хлоритом, реже кальцитом.

Разрез верхней подсвiti начинается покровом порфиритов, по подошве которого проводится граница с нижней подсвiti. Он характеризуется грубым чередованием эфузивных покровов и пластов пирокластических пород, нередко быстро выклинивающихся по простираннию. Мощность пластов и покровов колеблется от 1-5 до 20-100, реже 200-300 и очень редко 400 м. Какой-либо определенное закономерности в чередовании лав и пирокластических пород в разрезе подсвiti не отмечается. Так, например, в бассейне р.Мал.Джелон пирокластические породы и порфириты встречаются примерно в равных количествах по всему разрезу.

В других местах наблюдается резкое преобладание эфузивов или туфов и туфобрекций. По правобережью р.Кирин, в бассейне рек Олондо и Биракан и в некоторых других местах ниже подсыпи сложены преимущественно порфиритами, а в бассейнах рек Налек, Бол.Джелон и Салагат они преобладают в верхней части разреза.

Не наблюдается закономерностей и в распределении лав и туфов по петрографическому составу. В целом преобладают породы андезитового состава.

Дацитовые порфириты, их туфоловы и туфы развиты преимущественно в междууречье Бол. и Мал.Джелон, нижнем течении р.Ольхи, среднем течении р.Талакан и значительно реже встречаются в других местах. Порфириты образуют не только покровы, но встречаются и в виде отдельно стоящих неков и субаффузивных даек (ярловая фация). Если среди порфиритов и туфов подсвiti при сравнительно плохой обнаженности эти образования трудно замечаться, то среди пород нижней подсвiti, легче поддающихся выветриванию, некие выступают в виде остацийных сопок и откартированы в бассейне рек Барбаш и Антыкан. Особенно хорошо видны эти тела в береговых обрывах (мысы Антыкан, Маджалина). Некоторые представляют собой штокобразные тела от 0,1 до 0,5-0,8 км, редко 1 км в поперечнике. Конакты крутые ($70-80^{\circ}$), нередко вертикальные, относительно ровные, реже извилистые. Судаффузивные даики встречаются повсеместно. Они прямолинейные, извилистые, с ровными или заливообразными контактами. Мощность даек колеблется от 0,5-2 до 10-20 м, протяженность самая различная. Углы наклона преимущественно $70-80^{\circ}$ до вертикальных, редко $15-20^{\circ}$, простирания разные. От неков и даек нередко отходит межпластины апофизы, залегающие согласно или почти согласно с вмещающими породами.

Условия обнаженности не позволили составить полный разрез подсвiti от городка до края. В качестве типичного примера можно привести частный разрез по правому склону долины р.Мал.Джелон. Здесь на породах нижней подсвiti залегает (снизу вверх):

1. Андезитовые порфириты, миндалекаменные,	
серого цвета	135 м
2. Туфы средне- и крупнообломочные, темно-	
серого цвета	20 "
3. Андезитовые порфириты темно-серого цвета	80 "
4. Туфобрекции (обломки 1-1,5 см) бурого	
цвета	70 "
5. Туфы крупнообломочные темно-серые с зеленым оттенком	80 "
6. Андезитовые порфириты темно-серого цвета	70 "
7. Туфы средне- и крупнообломочные, зеленовато-серые	20 "
8. Туфобрекции (обломки до 1 см) зеленовато-	

серого цвета 35 м

9. Туфы средне- и крупнообломочные, серые и зеленовато-серые 50 "

Общая мощность по разрезу 560 м.

Андезитовые порфиры представляют собой массивные породы с порфировой, редко призматической-зернистой (жерловая фации) структурой, иногда с миндалевидной текстурой. Вкрашенники (20–30%) представлены плагиоклазами (андезин-лабрадор № 45–55, редко лабрадор № 60), нередко зональными, роговой обманкой, автитаом. Характерны гипнеропорфировые сростки кристаллов. Основная масса микролитовая, пилотактическая, часто интерсертанная, реже гипнопилитовая, криптокристаллически – аматорио-рифно-зернистая. Она состоит из андезина, роговой обманки, автита и вулканического стекла. Количественные соотношения минералов варьируют в больших пределах, в связи с чем выделяются пилотактические, роговообманковые и пироксеновые разновидности андезитовых порфиров.

Даситовые порфиры обладают порфировой структурой и массивной, иногда миндалекаменной текстурой. Вкрашенники (20–40%, представлены андезин-лабрадором № 45–55, андезином № 35–40 (60–80%), роговой обманкой (0–35%), кварцем (5–20%). Основная масса микролитовая, пилотактическая, иногда криптокристаллически-аматориоморфно-зернистая, редко микрофельзитовая, состоящая в основном из андезина с небольшой примесью кварца (до 5–15%), вулканического стекла. Редко основная масса состоит из кварц-полевошпатового агрегата.

Туфолавы андезитовых и даситовых порфиров по составу аналогичны соответствующим порфиритам, но содержат наряду с акарапленниками до 30% охлажденного материала.

Туфы и туфобрекции совершенно аналогичны соответствующим породам, входящим в состав нижней подсвиты джелонской свиты.

Мощность верхней подсвиты составляет 700–800 м.

Возраст верхней подсвиты большинством исследователей (Л.И.Красный, 1960; В.Ф.Зубков, 1962; В.И.Гольденберг и др., 1960 и др.) на основании сборов растительных остатков в породах нижней подсвиты считается также верхнерифто-нижнемеловым.

По мнению автора, изложенному во введении, верхняя подсвита джелонской свиты является аналогом немуйланской свиты нижнего мела. Возраст ее четко определяется несогласным залеганием на флюристически охарактеризованных верхнерифто-нижнемеловых отложениях нижней подсвиты джелонской свиты и активным контак-

том с нижнемеловыми гранитоглинами южного интрузивного комплекса. Нижнемеловой возраст подтверждается также данными абсолютного возраста андезитовых порфиров (133 млн. лет – середина неокома) верхней подсвиты в соседнем к северу районе (лист № 53-У, 1960).

На территории кислые вулканогенные образования нижнего мела (?) встречены у ее северной границы между реками Кирган и Икканды, где они составляют два незначительных по площади участка (менее 1 км²). Эти образования широко развиты в пределах Предджигурского наложенного прогиба к северу от исследованного района, где в 1956 г. они были впервые выделены в бассейне р. Матей и описаны в составе матейской свиты геологами Балта (И.М.Фердинан, В.И.Гольденберг и др., 1958 г.). Свита несогласно залегает на средних в флюзах верхней подсвиты джелонской свиты, а за пределами территории – на образованиях докембра, палеозоя, верхней яри – нижнего мела и нижнемеловых гранитоглинях. На соседней территории (лист № 53-У) она прорвана верхнемеловыми гранитами и перекрыта андезитами мевачанской свиты палеогена (?). В исследованном районе матейская свита не имеет общих границ с вышеупомянутыми толщами.

Матейская свита делится на две подсвиты. В пределах района встречены города нижней подсвиты, представленные липаритовыми и фельзитовыми порфиритами, фельзитами, туфами, туфобрекциями. Коренные обнажения указанных пород не встречены. Участки их распространения характеризуются очень небольшими размерами, сильной залеганием и застриженностью. Поэтому на территории листа не удалось выявить характер втутреннего строения подсвиты. В соседнем к северу районе, где кислые вулканогенные породы нижней подсвиты матейской свиты имеют широкое распространение, по данным В.Ф.Зубкова (1962), для них характерно непостоянство разреза в связи с выклиниванием отдельных горизонтов. Нередко симе нижние части разреза, залегающие на подстилающих породах, сбивают прелеставлены то липаритами, то фельзитовыми порфиритами. Первые иногда вообще выпадают из разреза.

Лиландитовые породы – светлые породы с порфировой структурой. Вкрашенники (30–45%) представлены в основном крупными корродированными зернами кварца, в меньшей степени – калиевым полевым шпатом, плагиоклазами, роговой обманкой и листочками биотита. Основная масса фельзитовая, реже сфенолитовая.

Фельзитовые породы обладают порфировой и глимеролпорфировой структурой, массивной, флюидальной и автактической текстурой. Вкрашенники (5–10%) представлены олигоклазом, олигоклаз-андезином № 30–36, единичными зернами калиевого полевого шпата и листочками биотита. Основная масса микроФельзитовая, фельзитовая, реже пегматитовая. Фельзиты отличаются от фельзитовых порфиров отсутствием вкрашенников.

Туфа и туфобрекчи я являются типично кластическими образованиями, состоящими из угловатых обломков вулканогенных пород.

Мощность подсвиты 200 м.

Нижнемеловой возраст пород магейской свиты определен В.Ф.Зубковым (1962) предположительно на основании того, что они залегают на верхнекордо-нижнемеловых образований джелонской свиты и прорываются широко распространенными интрузиями гранитов, имеющих абсолютный возраст 89–14 млн. лет. Но, учитывая большое сходство вещественного состава, складчатых дислокаций и условий залегания, не исключено, что магейская свита является аналогом толщи кислых эфузивов верхнемелового возраста, породы которой встречены в северо-восточной части описываемого района и имеет сравнительно широкое распространение к северо-востоку от него.

М е р и к о н с к а я с в и т а (ст1?ни). Отложения, относенные к мериконской свите, имеют сравнительно небольшое распространение. Они слагают разрозненные участки по правобережью р.Бол.Джелон и участок площадью около 120 км² по левобережью р.Бол.Джелон и участок площадью около 120 км² по левобережью этой реки и в бассейне рек Бонгай, Мал.Бонгай. Свита с разном, угловым, а иногда и азимутальным несогласием залегает на породах джелонской свиты. Простирание последних преимущественно северо-восточное, а мериконской – меридиональное до северо-западного. Углы наклона пород нижележащей свиты преимущественно 15–25°, а описываемой – не превышают 10–15°. Граница между мериконской и подстилающей свитами неровная с карманообразными заливами. Это хорошо видно в морских береговых обрывах близ устьев рек Бонгай, Мал.Бонгай и к северо-востоку от мыса Маджалида. Свита с небольшим разномом перекрыта толщей кислых эфузивов верхнего мела (верхнее течение р.Мал.Бонгай) и прорвана

верхнемеловыми гранитоидами (правобережье р.Бол.Джелон).

Свита сложена туфоконгломератами, реже конгломератами и аркозовыми песчаниками, очень редко туфопесчаниками, песчаниками, туфами, алевролитами. Наиболее распространение имеют туфоконгломераты и конгломераты, которые местами полностью слагают всю свиту (между речьи Бонгай – Бол.Джелон и в некоторых других местах). Туфопесчаники, песчаники, туфы, алевролиты образуют в низах, реже средней части, разреза свиты редкие линзовидные прослои мощностью от 0,2–0,4 до 5–10 м и протяженностью до 300–600 м (морские береговые обрывы к юго-западу от мыса Маджалида). Единичные линзообразные прослои аркосовых песчаников отмечаются в верхней части разреза свиты. В верхнем течении р.Бол.Джелон, по ее левобережью (вершина с отметкой 1009 м), ими сложен горизонт мощностью 260 м, которым заканчивается разрез свиты в этом районе. В нижних частях горизонта наблюдаются редкие пласти и линзы конгломератов мощностью до 3–5 м.

Туфоконгломераты мелкогалечные до крупногалечных, нередко с небольшим количеством валунов. Цвет темно-бурий, темно-серый, зеленовато-серый, серый. Количество окатанного материала от 30–50 до 60–70%. Размеры гальки от 2–5 до 10–12 см, валунов – преимущественно, 15–20, реже до 30–40 см. Окатанность средняя и хорошая, очень редко плохая. Галька в туфоконгломератах разделена неравномерно как количественно, так и по размерам. В крупногалечных конгломератах встречаются участки средне- и мелкогалечных до гравийных и наоборот. Переходы между конгломератами с разной крупностью окатанного материала постепенные. Каждый-либо ориентированности в расположении галечного материала не наблюдалось.

Состав гальки и валунов разнообразен, представлен преимущественно осадочно-туфогенными и вулканогенными породами джелонской свиты, реже метаморфическими образованиями, гранитоидами нижнего протерозоя и улского интрузивного комплекса нижнего мела. Состав гальки из туфоконгломератов дессетана приводят притоков р.Бонгай: породы нижней подсвиты джелонской свиты (37%) – туфы пепловые 20%, туфы средне- и крупноблочные 14%, алевролиты 3%; породы верхней подсвиты джелонской свиты (50%) – андезитовые и дацитовые порфириты 30%, туфоловы дацитовых порфиритов 15%, окварцованые туфы среднеблочные 5%; гранодиориты улского интрузивного комплекса 13%. Состав гальки из конгломератов по левому склону долины р.Бол.Джелон: породы нижней подсвиты джелонской свиты (30%) – туфы пепловые, частично окременные до 20%, туфы средне- и крупнообломочные 10%; породы верхней

подсвиты джелонской свиты (55%) – андезитовые и дацитовые порфириты 35%, окварцованные туфы мелко- и среднеобломочные 20%; гранодиориты и диориты ульского интрузивного комплекса 10%; кварц 5%. Цемент турбоконтактомератов туфовый, среднего состава, преимущественно средне- и крупнообломочный.

Контактомераты по вещественному составу совершенно аналогичны турбоконтактомератам и отличаются от последних туфопесчаником, реже песчаниковым цементом. Конгломераты слагают небольшие (до 2–3 км²) участки среди турбоконтактомератов. Переходы между ними постепенные.

Аркозовые песчаники серого цвета, от мелко- до среднезернистых, реже крупнозернистые. Структура псамmitовая, псамmitо-алевритовая, местами гранобластовая. Полуокатанный и окатанный материал (60–90%) представлен в основном кварцем и плагиоклазом, реже калиевым полевым шпатом. Цемент кварц-полевошпатовый, склонистый.

Туфы среднего состава от мелко- до крупнообломочных с псамmitо-псамmitовой, албито-псамmitовой, кристаллоидито-псамmitической структурой. Обломочный материал (60–70%) представлен андезитовыми, реже дацитовыми порфиритами, пегловыми туфами, кварцем и плагиоклазами. Цементирующая масса пепловая, серцитизированная.

Турбопесчаники отличаются от туфов значительным преобладанием в обломках окатанного и полуокатанного материала.

Песчаники полимитовые, псамmitовые, псамmitо-алевритовые, крупнозернистые, по составу аналогичны турбопесчаникам. Отличие состоит лишь в том, что в песчаниках весь обломочный материал практически окатан, а в цементе отсутствует пепловый материал. Алевролиты состоят из угловато-окатанных зерен кварца и плагиоклаза. Структура алевритовая. Цемент (30%) глинисто-слюдистый (чешуйки биотита).

Мощность свиты составляет 600 м.

Стратиграфическое положение мериконской свиты достаточно четко определяется ее залеганием между джелонской свитой и толщей кислых эфузивов. Однако возраст свиты, в связи с отсутствием палеонтологических находок, остается неясным. Нижним возрастным пределом ее можно считать абсолютный возраст 123,5–124 млн. лет (середина – конец неокона) гранодиоритов и диоритов ульского интрузивного комплекса, содержащихся в гальке и валунах турбоконтактомератов. Толща кислых эфузивов, перекрывающая мериконскую свиту, имеет верхнемеловой возраст. В Аянском районе,

где впервые эта свита была выделена в 1957 г. В.И.Гольденбергом, она считается нижнемеловой. Такое определение возраста мериконской свиты не противоречит данным, полученным на территории листа. Однако не исключен и более молодой (альб-сеноанский или сеноан-туронский) ее возраст.

В е р х н и й о т д е л

Толща кислича є ф ё у з и в о в (стг.). Породы толщи развиты в северо-восточной части территории, где слагают очень небольшие по площади разрозненные участки по левобережью р.Бол.Джелон и в бассейне верхнего течения р.Мал.Бонгая. Они с угловым несогласием залегают на эфузивах джелонской свиты и с небольшим разрывом на отложениях мериконской свиты нижнего мела.

Толща сложена кварцевыми порфиритами, дацитовыми порфиритами, их туфами и туфлами, фельзитами и турборектиями. Она представляет собой чередование пластов пирокластических пород и лавовых покровов. Мощность пластов и покровов колеблется в среднем от 5–10 до 20–50 м, минимальная мощность 1–3 м, максимальная 70–120 м. Пласти и покровы нередко имеют линзообразный характер, невыдержанную мощность и в большинстве случаев сравнительно быстро выклиниваются по простиранию. Толща характеризуется преимущественно кислым составом пород, их светлой окраской (белесая, светло-серая, светло-зеленая, буровато-желтая, светло-серебряная, серая и т.д.), преобладанием туфов и турборекций. Обычно фельзиты и дацитовые порфириты приурочены к низам, а пирокроны кварцевых порфиритов – к средней и верхней частям разреза. Кварцевые порфириты и дацитовые порфириты встречаются также в виде субафузивных даек, являющихся жерловой формой покровов. Даики хорошо видны в морских береговых обрывах, где прорывают породы джелонской и мериконской свит. Субафузивные даики распространены очень широко. Особенно многочисленны они между мысами Носогор и Маджалинда. Даики прямолинейные, реже извилистые. Мощность от 0,5–1 до 3–5 м. Протяженность самая различная. Углы наклона колеблются в широких пределах от 15–20 до 80°, реже вертикальные. Простирации различные. От даек нередко отходят межплагио- и вертикальные апофизы. Условия обнаженности, незначительные размеры участков, сложенных кислыми эфузивами, и их разобщенность не позволили составить полный разрез свиты. В качестве одного из примеров ее строения может служить частный

схематический разрез по левому склону долины р.Бол.Джелон, где на породах верхней подсвиты джелонской свиты залегают (снизу вверх):

1. Туфы мелко- и среднеобломочные с маломощными прослойками туфолов фельзитов.	60 м
2. Туфолавы фельзитов	10 "
3. Туфы кварцевых порфиров мелко- и крупнообломочные с редкими прослойками туфобрекций (обломки до 1,5-2 см)	100 "
4. Дацитовые порфириты	20 "
5. Кварцевые порфириты с прослойками среднеобломочных туфов	50 "

Общая мощность по разрезу 240 м.

Кварцевые порфириты - массивные, очень крепкие породы с порфировой структурой. Вкрашены (10 до 50-55%) представлены кварцем и андезином № 38-42. Основная масса фельзитовая. Пустоты в основной массе выполнены хлоритом.

Дацитовые порфириты - порфиритовые породы с фельзитовой, реже микролитовой структурой основной массы. Вкрашены (5-40%) представлены андезином № 41-42.

Туфолавы кварцевых порфиритов и дацитовых порфиритов по составу аналогичны соответствующим породам и отличаются от них присутствием обломочного материала до 20-50%.

Туфы от мелко- до крупнообломочных, кристаллокластические, кристаллолитокластические, реже литокристаллокластические. Обломки (30-40 до 80%) представлены андезином № 34-36, кварцем, андезитовыми и дацитовыми порфиритами, тонкообломочными туфами, роговниками, реже микроклином и фельзитами. Связующая масса пастовая, реже тонко- и мелкообломочная.

Фельзиты представляют собой массивные породы, состоящие из кварц-полевошпатовой фельзитовой массы, иногда с полкилитовыми вростками микролитов пигмоклаза.

Туфобрекции содержат обломки (30-60%) андезитовых порфиритов и туфолавов размерами от 0,5-2 до 4-5 см, реже 15-20 см. Связующая масса туфоловая.

Мощность толщи 200-400 м.

Нижним возрастным пределом толщи является возраст верхнемеловых гранитоидов (абсолютный возраст 72-84 млн. лет), которые прорывают кислые эффиузивы к северо-востоку от района. Л.И.Красный (1955) возраст пределах хребта Ям-Алинь и Эзоп (шт.-западнее территории листа). Верхнемеловой возраст толщи подтверждается определением абсолютного возраста штуфа из покрова кварцевых порфиров на Междуречье Тамгуй - Накундя (северо-восточнее описываемого района территории), где он принят равным 92 млн лет(Черняевский, Левитан, 1965).

Сходные вулканогенные толщи кислого состава широко распространены к северо-востоку от Удского прогиба в пределах Охотского тектоно-магматического пояса, где они также считаются верхнемеловыми.

ПАЛЕОГЕНОВАЯ СИСТЕМА (?)

М е в а ч а н с к а я с в и т а (Рg7m). Вулканогенные образования свиты развиты на северо-востоке и юго-западе территории, где слагают серию субпараллельных, узких, субэффиузивных тел (даек) на водоразделе в верховых рек Налек и Малый Джелон, а также некий в районе мыса Мельникова. Субэффиузивные тела и некие являются жерловой фацией лавовых покровов свиты, широко развитых к северу от района. Последние наиболее полно изучены в бассейне р.Мевачан (правый приток р.Маймакан, в ее верховьях) и впервые выделены в 1956 г. геологами ДВГУ В.А.Синевым, В.Ф.Зубковым под наименованием Мевачанской свиты (Зубков, 1962). На территории листа, за исключением района мыса Мельникова, породы лав этой свиты не встречены. Они, очевидно, размыты. Субэффиузивные тела прорывают породы джелонской свиты. Породы свиты (жерловая фация) представлены андезито-дацитами и андезитами, имеющими очень свежий облик. Для пород характерен водянопрозрачный пигмоклаз. Андезито-дациты залегают в антиклинальном или северо-восточном направлении и имеют, по-видимому, приблизительно вертикальное падение. Контакты практически прямолинейные. Размеры тел в длину от 0,5 до 1,4-3,5 км, а их мощность обычно не превышает 0,4-0,5 км. Субэффиузивные тела хорошо прослеживаются в виде гравек, резко выступающих на фоне полого страженного рельефа, развитого на эффиузивах верхней подсвиты джелонской свиты (абсолютный возраст 123,5-124 млн. лет) без каких-либо следов

в этой части района. Андезитами сложены два некка: на мысе Мельникова и в 2,5 км западнее. Некк неправильно округлой формы, вертикальные, с попечными размерами 0,4 и 0,1 км. Некк в 2,5 км западнее мыса Мельникова в верхней части берегового обрыва переходит в покров, остатки которого площадью 0,6-0,8 км² перекрывают породы нижней подсвиты джелонской свиты. Мощность покрова 10-15 м.

Андезито-базальты - очень крепкие, массивные, местами миндалевидные породы, с порфировой структурой. Вкрапленники (30-50%) представлены плагиоклазом (андезин-лаурадор № 50-51, реже андезин № 47 и лабрадор № 61), значительно реже ромбическая (гиперстен) и моноклинным призменами (до 15%). Основная масса микродиабазовая, реже пилотакситовая, интерсергальная и микролитовая, состоит из плагиоклаза (45-65%), моноклинного и ромбического призёна (до 15%), магнетита (10-15 до 20%) и вулканического стекла (до 10-20%). Миндаллины выполнены карбонатом и хлоритом.

Андезиты представляют собой породу с единичными вкраплениями андезина и гиперстена. Основная масса имеет трахиолитовую и гипалопилитовую структуру с очень мелкими микролитами плагиоклазов и вулканическим стеклом.

По химическому составу (табл. 2) андезито-базальты относятся к лейкомеланократовым породам, насыщенным SiO₂, очень белым щёлочам, и соответствуют диабазам и долеритам, по Р.Дэли. Но, учитывая довольно сильную местную карбонатизацию пород, которая понижает значение а:с, следует считать их по химизму промежуточными между базальтами и андезитами. Андезиты района мыса Мельникова относятся к породам, пересыщенным SiO₂, очень белым щёлочами, и соответствуют следяным андезитам, по Р.Дэли.

Возраст мечеванской свиты, первою фазой лавовых покровов которой являются породы территории листа, по аналогии с соседним к северу районом (Зубков, 1962) принимается предположительно как палеогеновый. Но не исключен и более молодой ее возраст, так как абсолютный возраст андезитов этой же свиты из покровов соседней к северо-востоку территории оказался равным 12,8 млн. лет, что соответствует миоцену (Чернянский, Левитан, 1965).

Таблица 2
Химический состав пород мечеванской свиты

Название породы, место отбора, номер образца	SiO ₂	TiO ₂	Al ₂ O ₃	Fe ₂ O ₃	FeO	MgO	CaO	Na ₂ O	K ₂ O	H ₂ O	П.п.п.	Сумма
Андезито-базальт, верховья р.Налек, I633	47,08	1,53	19,94	1,71	8,73	2,64	10,17	1,74	0,19	0,08	6,08	99,89
Андезит, мыс Мельникова, 859/58	58,80	0,99	15,72	1,00	8,24	2,04	5,99	3,00	1,24	0,36	2,68	100,06

Числовые характеристики по А.Н.Заварышкому

Номер образца	a	c	b	s	f'	m'	c'	n	q	t	a/c	Q
I633	4,8	13,2	17,8	64,0	63,8	29,5	6,6	93,3	9,8	2,4	0,4	5,4
859/58	8,8	6,6	13,7	70,9	65,6	26,6	7,7	78,0	6,2	1,3	1,3	17,6

ЧЕТВЕРТИЧНАЯ СИСТЕМА

В пределах территории четвертичные отложения развиты почт-
ти повсеместно и представлены разнообразными континентальными
и морскими осадками различного генезиса от нижнечетвертичного
до современного возраста. Мощность их в горной части территории
редко превышает 3–6 м и только в устьевых частях долин крупных
рек достигает 25–40 и 75 м. Последнее подтверждено результатами
вертикального электрического зондирования, проведенного в
устевых частях рек Кирсан и Уда, и буровыми скважинами, прои-
денными в селах Чумикан и Алгазия.

НИЖНЕЧЕТВЕРТИЧНЫЕ ОТЛОЖЕНИЯ

(Q_1)

Нижнечетвертичные аллювиальные отложения слагают аккуму-
лятивную часть 60–100-метровых поклонных террас. Наиболее широ-
ко они развиты в прибрежно-морской части территории, где высо-
кие террасы рек Кирсан, Огнё, Салагат и Антыкан образуют полого-
наклонную аэрозионно-аккумулятивную поверхность с абсолютными
отметками 60–200 м. Нижнечетвертичные аллювиальные отложения
известны также в среднем течении рек Кирсан и Икканда и в при-
устебельской части р. Мал.Джелон. К этому же возрасту предположитель-
но относятся нижние горизонты аллювиальных отложений, выполненно-
ших долину р.Уды, вскрытые буровыми скважинами в селах Чумикан
и Алгазия.

Отложения представлены галечниками с валунами и редкими
линизами и прослоями песка, супеси, суглинков с галькой и валу-
нами. Галька и валуны хороший и средней окатанности, преимуществен-
но, эллипсоидальной формы. Характерной особенностью отложе-
ний является сильная выветрелость обломочного материала. Степень
выветрелости во времени неизменно возрастает вниз по разрезу. Галька и валуны инtru-
зивных пород ярко нацело превращены в пресную и глинистую про-
ductы выветривания. Галька более устойчивых к выветриванию по-
рода покрыта растескавшейся корочкой продуктов выветривания.
В верхней части разреза галька обычно имеет блестящую темно-ко-
ричневую поверхность, напоминающую по внешнему облику пустынный
загар. Заполнитель (5–10 до 20–30%) в галечниках гравийно-пес-
чаник. Материнские слабо спекментированы. В галечниках наблю-
дается слабо выраженная слоистость. Слои различаются по круп-

ности обломочного материала, по составу и процентному содержанию заполнителя, степени окисления и пементации. Уплотненные
галка и валуны имеют наклон до 16–20° вверх по течению рек.
Петрографический состав галки и валунов весьма разнооб-
разен и почти не отличается от более молодых аллювиальных отло-
жений, что свидетельствует о единстве источников сноса в тече-
ние всего четвертичного периода. Прослои и линзы песка мощностью
до 1 м обычно приурочены к средней и верхней частям разреза.
Песок полимиктовый, мелко- и среднезернистый, с косой слоистостью
и иногда с линзами бурых суглинков, обогащенных органическим
веществом. Мощность отложений колеблется в значительных преде-
лах. В прибрежной части она достигает 12–20 м. На участках, при-
микающих к долинам рек Кирсан и Огнё, отмечено увеличение мощно-
сти аллювия до 40–60 м. Вверх по долине р.Кирсан мощность нижне-
четвертичного аллювия быстро уменьшается и в 3–4 км выше устья
она не превышает 2 м. В приустебельской части уда по результатам
бурования мощность этих отложений достигает 28–40 м.

Образцы, отобранные из верхних горизонтов аллювиальных
отложений террас высотой 60–100 м рек Кирсан и Мал.Джелон, содер-
жат значительное количество сильно минерализованной пыльцы и
спор. В составе пыльцы древесных пород преобладают бересклет и оль-
ха, из хвойных – ель, несколько видов сосны и пихта. Характер-
но присутствие единичных зерен пыльцы широколистенных пород –
вяза, лещины, клена. Очень много спор сфагновых мохов и папорот-
никообразных. По заключению В.Ф.Морозовой (Второе гидрогеологи-
ческое управление), состав растительности отвечает умеренно
холодному климату конца нижнечетвертичной эпохи. Принимая во
внимание, что указанные выше спорово-пыльцевые спектры характе-
ризуют самое верхнее горизонты аллювия, возраст отложений в
целом можно определить как нижнечетвертичный. Для нижних гори-
зонтов аллювиальных отложений, вскрытых бурением в устьевой ча-
сти р.Уды, не исключен более древний (неогеновый) возраст.

СРЕДНЕЧЕТВЕРТИЧНЫЕ ОТЛОЖЕНИЯ (Q_{II})

Среднечетвертичные аллювиальные отложения широко развиты
на юге территории, где слагают аккумулятивную террасу рек Уды
и Джаны высотой 30–60 м. Вверх по р.Джане высота ее постепенно
снижается до 10–15 м. На правобережье р.Уды эта терраса спло-
ется со II надпойменной террасой р.Тыль. В горной части терри-
тории среднечетвертичные отложения принимают участие в строении

поколных террас рек Антыкан, Салагат, Кирсан и Олгоно. Высота террас колеблется от 10–15 м в верховых до 25–30 м в нижнем течении рек.

Отложения представлены галечниками с валунами и песками (10–30%). Галька и валуны разнообразного вещественного состава, обычно эллипсоидальной, реже уплощенной формы, хорошей и средней окатанности. В некоторых разрезах наблюдается слабо выраженная сплошность и горизонтальная ориентировка плоских гальек и валунов, иногда с небольшим уклоном вверх по течению реки. Пески полимитовые, сплошные, средне- и мелкозернистые, развиты в основном по правобережью р.Уды, где слагают горизонт мощностью около 15 м в верхней части разреза отложений. Ниже по разрезу они сменяются мелкими и средними галечниками с примесью валунов и пестрым заполнителем. Для отложений характерно значительное оклешение, благодаря которому они имеют преимущественно бурый цвет. В отличие от нижнечетвертичных среднечетвертичных галечники не спементированы, в составе заполнителя отсутствуют суглинки, обломочный материал отличается значительно более слабой выветрелостью. Мощность отложений в горной части района 0,5–15 м, в долине р.Уды – до 60 м.

Среднечетвертичный возраст отложений подтверждается результатами спорово-пыльцевого анализа целого ряда образцов. Судя по спорово-пыльцевому спектру, во время формирования отложений произрастала темнокоренная тайга с широким распространением ели, пихты, сосны, а в долинах рек – березы и ольхи. В наземном покрове преобладали вересковые и папоротниковые. Климат, очевидно, был несколько теплее, чем современный. Поменю В.Ф. Морозовой, время накопления отложений, участников в строении террас высотой 10–60 м, может соответствовать климатическому оптимуму среднечетвертичной эпохи.

В е р х н е ч е т в е р т и ч н ы е о т л о ж е н и я (Q_{III})

Верхнечетвертичные отложения представлены аллювиальными и ледниковыми образованиями.

Аллювиальные отложения верхнечетвертичного возраста широко развиты в долинах почти всех рек. На геологической карте участки развития верхнечетвертичного аллювия, не выраженные в масштабе карты (долины мелких рек и крупных ручьев, среднее

и верхнее течение р.Кирсан), обособлены с отложениями поймы.

Верхнечетвертичные аллювиальные отложения слагают аккумулятивный чехол поклонной террасы высотой от 2–2,5 м в верховых рек до 10–15 м в их нижнем течении. На отдельных участках вся терраса является аккумулятивной. Отложения представлены галечниками с примесью (многда значительной) валунов, песками. Последние обычно слагают верхние, лизоразные горизонты отложений.

Буровая скважина, заложенная в районе с.Алгасия на поверхности 6–7-метровой террасы, вскрыла горизонт песков с редкой талькой мощностью 7 м, которые ниже по разрезу сменились галечниками с примесью мелких валунов мощностью 6,6 м. В основании разреза залегает слой гравия с примесью гальки мощностью 2 м. В направлении к устью р.Уды пески и гальки выклиниваются. В галечниках часто наблюдается горизонтальная сплошность. Плоская галька и валуны наклонены вверх по течению реки под углом 10–20°. Заполнитель гравийно-песчаний. Пески полимитовые, мало- и среднезернистые. Для отложений, по сравнению с более древним аллювием, характерно незначительное оклешение, галька и валуны имеют свежий облик и не несут на себе никаких следов выветривания. Мощность отложений от 3–8 до 10–25 м (нижнее течение Уды и Кирсан).

Возраст отложений определяется на основании спорово-пыльцевых спектров, характеризующих очень холодный климат, способствующий развитию лесотундровых ландшафтов, т.е. отражавших ледниковые условия. В составе пыльцы древесных пород (26%) преобладает кедровый стланик, кустарничковые формы бересняка и ольхи, реже встречается лиственница. Характерно отсутствие пыльцы широколистенных пород. Среди спор (69%) много папоротникообразных, присутствуют сфагновые мхи и арктические виды плаунов. По заключению В.Ф. Морозовой, время формирования отложений соответствует эпохе позднечетвертичного оледенения. Однако, учитывая, что упомянутые спорово-пыльцевые спектры характеризуют только верхние горизонты разреза аллювия, в целом отложения можно считать верхнечетвертичными.

Ледниковые отложения встречаются в верховых правого притока р.Огнё (район вершины 1432 м), где занимают незначительную, но выраженную в масштабе карты площадь. Отложения представляют несортированный лебянисто-тёмный материал, слагающим юрту в днище приточной долины. Мощность отложений около 10 м. Хорошая сохранность ледниковой формы рельефа и слабая выветрелость морены свидетельствует о том, что ледниковые отло-

жения формировались в эпоху последнего (верхнечетвертичного) оледенения. Они синхронны верхнечетвертичным аллювиальным отложениям, слагающим аккумулятивный чехол террас высотой от 2–2,5 до 10–15 м, возраст которых определен как верхнечетвертичный на основании спорово-пыльцевых спектров, отражавших ледниковые условия.

В е р х н е ч е т в е р т и ч н ы е – с о в р е м е н н ы е о т л о ж е н и я (QIII–IV)

Объединение верхнечетвертичные и современные образованием представлены элювимальными, смешанными склоновыми, гравитационными, дельвиально-солифлюкционными, аллювиально-проливиальными и аллювиальными отложениями.

Процессы выветривания горных пород обусловили широкое развитие на территории элювальных, смешанных склоно-вых, гравитационных и дельвиально-солифлюкционных образований, некоторые почти сплошным чехлом покрывают водоразделы, склоны долин и на тектонической карте не обозначены. Элювий – ни в отложении приурочены к плоским водоразделам, а также к плоским поверхностям эрозионных террас и реликтам деградационных поверхностей. Они представлены глыбами и щебнем с примесью дресвы и суглинков (иногда до 30%), суглинками, реже супесями. Состав обломочного материала соответствует составу подстилающих пород. Мощность отложений, по-видимому, нигде не превышает 3 м и, как правило, составляет 1–2 м. Смещана – и не сказывается, отложения имеют наибольшее распространение. Они сформировались под воздействием плоского склона, гравитации и солифлюкции. Отложения представлены щебнем и глыбами с супесчаным и суглинистым заполнителем, реже суглинками и супесями (средние и нижние части выполненных склонов). Мощность отложений до 3 м.

Третичные отложения развиты на склонах, практически лишенных растительного покрова, и представляют собой незакрепленные и полузакрепленные осадки, состоящие из глыб с примесью щебня. Преобладающая мощность осадка 1–3 м, максимальная – порядка 4–5 м, наблюдается у подножия склонов.

Дельвиально-соливидные отложения встречаются местами в нижней части и у под-

ножья склонов долин, где происходит наполнение мелкосеземистого материала, сносимого вниз по склону в результате солифлюкции и плоскостного смыва. Отложения представлены суглинками и супесями с небольшой примесью щебня. В отдельных разрезах имеется слабо заметная наложенная слоистость и прослеживаются горизонты погребенных почв. Мощность отложений не превышает 3 м. Возраст вышеуказанных образований определяется, как верхнечетвертичный – современный, на основании представлений об условиях на отдельных участках сохраняются и более древние склоновые и элювимальные образования.

Аллювий – проливиальный – ложе ния слагают конусы выноса в устьях крупных ручьев и временных водотоков. Отложения пользуются назначительным распространением и чаще всего встречаются в бассейне рек Мал.Джелон и Налек. Ввиду очень небольших размеров на тектонической карте они не показаны. Конусы выноса в устьях крупных ручьев по составу имеют много общего с аллювием верхнечетвертичной террасы. Их мощность достигает 2–10 м. Конусы выноса временных водотоков (сухие дельты) сложены почти неокатанным и несортированным щебенистым материалом. Они, по-видимому, в основном были созданы в эпоху последнего оледенения. В настоящее время продолжают формироваться только конусы выноса временных водотоков. Отложения конусов выноса лежат на поверхности верхнечетвертичной террасы и подрезаются постом. Из этих соображений их возраст определяется как верхнечетвертичный – современный.

Аллювий – отложение конусов выноса лежат на поверхности верхнечетвертичных и современных. Количество выше, к объединенным верхнечетвертичным и современным образованиям относятся аллювиальные отложения в надпойменной террасе (верхнечетвертичные отложения) и поймы, выполняющие днища долин мелких рек и крупных ручьев. Характер и состав аллювия этого возраста описан в разделах "Верхнечетвертичные отложения" и "Современные отложения".

С о в р е м е н н ы е о т л о ж е н и я (QIV)

Современные отложения четвертичной системы представлены речными и морскими образованиями, слагающими пойму, морскую террасу, пляж, пологу осушки и выполнивающими дно устьской губы Охотского моря.

Современные альвильные отложения накапливаются в руслах рек и слагают аккумулятивные пойменные террасы высотой от 0,5–0,7 до 4–5 м. Отложения представлены галечниками с гравийно-песчанным заполнителем и примесью валунов, песками, супесями и суглинками. Видимая мощность современного аллювия от 0,7–5 до 10 м (р.Уда, устьевая часть р.Киран). Современный возраст отложений поймы подтверждается спорово-пыльцевыми спектрами, близкими к современным. Увеличение количества пыльцы сиена на глубине 0,35–0,45 и 3–3,1 м (долина р.Джана) свидетельствует о двухкратном потеплении климата и увеличении влажности в голоцене. Дорождование отложений поймы продолжается и в настоящее время.

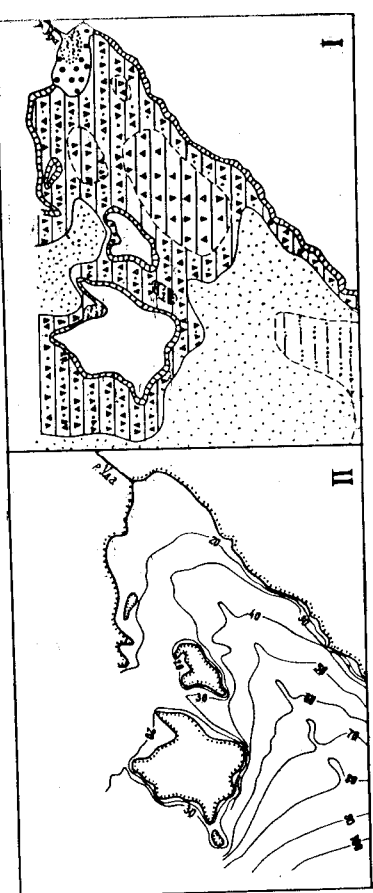
Морская аккумулятивная терраса высотой 5–6 м расположена в пристеблевой части р.Уды. Она сложена галечниками с гравийно-песчаным заполнителем и примесью валунов, в меньшей степени супинками и песками с гравием и редкой галькой (лагунная фация). Галька мелкая и средней величины, хорошо окатанная, плоская, наклонена в сторону моря под углом 7–10°. Характерны линзовидные прослои сильно окисленных галечников. Мощность отложений морской террасы до 6 м. Морская терраса вложена в верхнечетвертичную речную.

Формирование 5–6-метровых морских террас связано с максимальной четвертичной трансгрессией, которая, по данным А.П.Жузе (1958 г.), имеет последниковый возраст. Фация Мольсков, собранная А.Н.Самодоловым (Горохов и др., 1960) из отложений анатолитической террасы близ устья р.Эрен (к юго-востоку от территории листа), представлена формами, встречающимися и ныне в дальневосточных морях. Спорово-пыльцевые спектры из отложений той же террасы близ устья р.Мал.Ужон характеризуют более теплые и влажные, по сравнению с современными, климатические условия тихоокеанского оптимума, синхронного последниковой трансгрессии. На основании изложенного возраст отложений морской террасы определяется как нижнеголоценовый.

К верхнему голоцену относятся отложения пляжа, современных пересипей, полосы осушки и донные осадки Удской губы. Пляж и пересипи сложены галечниками с примесью валунов и песками. У подножий абразионных уступов в составе отложений пляжа присутствует глибовый и щебенистый материал. Полоса осушки сложена галечниками и песками, местами перекрытыми слоем иловатых супиников и илов мощностью 0,1–0,4 м. Мощность отложений не превышает 6 м. Донные осадки Удской губы, по Л.Е.Германовичу (1955), представлены прибрежными и прибрежно-морскими фауниами (рис. I).

Рис. I. Схематизированная карта фаций осадков Шантарского района Охотского моря (I) и батиметрическая схема (II) по Д.Е.Германовичу (1955)

1–3 – прибрежные фации; 1 – волнисто-вальцовая и песка, нерасчлененная, 2 – песка, 3 – илстого песка и песчанистого ила; 4–6 – прибрежно-морские фации; 4 – галько-песчано-ракушечная, 5 – галько-гравийно-ракушечная, 6 – ракушечного илстого песка; 7–8 – морские фации; 7 – песка, 8 – илстого песка; 9 – границы групп фаций; 10 – границы фаций.



Обычно вдоль берегов узкой полосой с отдельными перегородками простираются валуны, валуно-галечные и галечные отложения.

Иногда они смешиваются обнажениями коренных пород или песчаниками и более тонкими осадками на участках впадения рек и у низменных берегов, сложенных рыхлыми четвертичными городами. Наиболее резко смена механического состава прибрежных отложений выражена при изменении очертаний и рельефа дна береговой полосы — у мысов, в бухтах, в вогнутостях береговой черты. Галечники при удалении от берега и дальнейшем увеличении глубин постепенно переходят в галечно-гравийно-песчаные отложения, которые часто, особенно на открытых участках моря, содержат заметную примесь цели и сидит ракушки, трубок червей, обломков раковин, балансуса и других организмов. Именно эти отложения (галечно-гравийно-песчаные) покрывают большую часть дна губы, преобладая на наиболее распространенных и медленно изменяющихся глубинах 20–80 м. С глубины 70 м они сменяются мелкозернистыми и пылеватыми песками морских фаший. В вершинах заливов, бухт и губ обычно развиты песчаники, иногда слегка залегающие (листистый песок, песчаный ил), а также песчано-галечные отложения. Мощность современного осадочного покрова дна Ульской губы и скорость седиментации, за исключением некоторых участков в заливах, по всей вероятности, невелики. Это подтверждается хорошей сохранностью контуров погруженных речных долин, не перекрытых толщей донных осадков.

ИНТРУЗИВНЫЕ ОБРАЗОВАНИЯ

Интрузивные породы занимают по площади около 20–25% территории листа. Они представлены нижнемеловыми габброидами и гранитами, верхнемеловыми плагиогранитами.

Р е н н е м е л о в и е и н т р у з и и – у д с к и й к о м п л е к с

Интрузивные породы, относенные к Ульскому комплексу, имеют преобладающее развитие в районе. Они слагают многочисленные массивы преимущественно в центральной и западной частях территории. Раннемеловыми интрузиями прорваны и метаморфизованы на контактах породы Джелонской свиты верхнемелового возраста. Формирование интрузий ульского комплекса произошло в три фазы. Образование интрузий (I фаза) началось с внедрения очень небольших масс габбрового состава. Главная интрузивная фаза (II фаза)

характеризуется преимущественно гранодиоритовым, в меньшей степени диоритовым и еще реже гранитным составом расплавов. В заключительную fazu (III fazu) внедрялись гранит-порфирьи.

Породы первой fazы слагают два небольших (1,5 и около 6 км²) массива по правобережью р.Бол.Джелон, близ ее устья. Массивы имеют овальную, вытянутую в северо-западном направлении и неправильную, с извилистами очертаниями форму. Центральные части массивов сложены та б о р о и г а б о р о - д и о р и т а м и (в Станд.), а краевые, как правило, — диорит-порфиритами. Переход между породами постепенный.

Габро — массивные, средне- и крупнокристаллические породы темно-серого с зеленым оттенком цвета, с габбровой, иногда пойкилитовой структурой, состоящие из зеленой роговой обманки (70–80%), моноклинного пироксена (5–10%) и лабрадора № 57–62 (15–25%). Из второстепенных минералов присутствуют сфеин, апатит, рудный.

Габбро-диориты — зеленовато-серые, массивные, среднекристаллические, порфировидные породы с гипидиоморфно-зернистой структурой. Они состоят из андезин-лабрадора № 50 (70–75%) и темно-зеленой, иногда буроватой роговой обманки (25–30%). Второстепенные минералы — сфеин и рудный.

Диорит-порфириты — серые, массивные, мелкокристаллические породы с порфитовой структурой и аллотигморфно-зернистой структурой основной массы. В их состав входит андезин № 43 (85–90%) и зеленая роговая обманка (10–15%). Второстепенные минералы аналогичны габбро-диоритам.

Породы второй интрузивной фазы имеют преобладающее развитие на территории. Они слагают большое количество мелких массивов площадью от нескольких сотен квадратных метров до 6–7 км² и сравнимо крупные массивы площадью до 200–250 км². Форма крупных массивов неправильная, часто с сильно извилистыми очертаниями. Удлиненные части массивов нынешне в направлении преобладающих систем разрывных нарушений северо-западных и северо-восточных, реже субширотных направлений, что нередко придает им крестообразный вид (крупные интрузии в бассейне р.Кирсан).

Иногда массивы имеют прямолинейные контакты, обусловленные разрывами нарушениями. Форма мелких интрузивных массивов — штокобразных тел в плане округлая, удлиненно-округлая, удлиненная. Последние также обычно вытянуты в направлениях, аналогичных простирации основных систем разрывных нарушений. Контакты массивов и тел под углами 20–70° падают в сторону от них. Они редко вертикальны. Местами контакты слож-

ные — апофизные. Акценты гранитоидов на значительные расстояния (до 0,3–0,5 км) проникают во вмещающие породы. В эндоконтактных зонах массивов обычно содержится большое количество ксенолитов вмещающих пород разной формы и размеров. Пространственное расположение и однородный состав интрузивных массивов, направление сжатия и углы наклона контактов, ширина зон контактно-метаморфизованных пород, а также большое количество мелких интрузивных тел между крупными позволяют предполагать, что все массивы представляют собой апикальные части единой крупной интрузии, полностью еще не вскрытой эрозией.

Наиболее распространеными породами главной фазы являются гранодиориты (ГДГр_1 и d), которыми сложено подавляющее количество массивов и тел этой фазы. Значительно реже встречаются интрузии полностью сложенные диоритами и кварцевыми диоритами (ДиГр_1 и d). Как правило, краевые части гранодиоритовых массивов сложены гранодиоритами и кварцевыми диоритами. Плагиограниты и граниты интрузий, расположенных в бассейне р.Кирен, встречаются разрозненные участки (до 10–20 км²) неправильной формы, сложенные диоритами и кварцевыми диоритами. Плагиограниты и граниты очень мало. Они приурочены к внутренним частям крупных массивов, где слагают небольшие (до 2–5, редко 10 км²) участки неправильной, нередко сильно извилистой в плане формы. Переходы между различными породами фазы постепенные.

Гранодиориты — серые, светло-серые, массивные, среднекристаллические породы с гипидроморфозернистой, на отдельных участках — гомоклазовой структурой. Минеральный состав: андезин № 34–48 (60–65%), кварц (15–20%), микроклин (5–10%), зеленая и буровато-зеленая роговая обманка или темно-коричневый биотит (5–10%). Нередко роговая обманка и биотит присутствуют совместно, в этом случае их количество не превышает 10%. Кварц иногда находится в микропегматитовом срастании с плагиоклазом. Вторичное минерали — апатит, циркон, рудные.

Диориты представляют собой серые и зеленовато-серые массивные, средне- и крупнокристаллические, иногда порфировидные породы с гипидроморфозернистой и панидоморфозернистой, редко полихилитовой и полихлофитовой структурой. Они состоят из андезина № 35, реже андезин-лаорадора № 50–53 (60–80), зеленой роговой обманки (10–20%), моноклинного широксена (10–20%), иногда апатита (до 10%). Местами кварц и плагиоклаз находятся в микропегматитовом срастании. Второстепенные минералы — апа-

тил, широкс, рудный. Кварцевые диориты аналогичны диоритам и отличаются лишь содержанием кварца до 8–15%.

Плагиограниты представляют собой массивные среднекристаллические породы серого цвета с гипидроморфозернистой, местами полихилитовой структурой. Они состоят из олигоклаз-андезина № 28–34 (40–50%), кварца (30–45%), темно-коричневого биотита (5–15%). Иногда присутствует калиевый полевой шпат до 3–5%. Он обычно выполняет промежутки между дурутиами минералами. Второстепенные минералы — циркон, рудный.

Граниты — светло-серые, иногда с красноватым оттенком, массивные, среднекристаллические породы с гипидроморфозернистой структурой. В их состав входит андезин № 34–36 (50–55%), кварц (20–25%), микроклин (15–25%), черно-бурый биотит (5–10%) и единичные кристаллы зелено-роговой обманки. Второстепенные минералы аналогичны плагиогранитам.

Гранодиорит-порфиры — серые или зеленовато-серые мелкокристаллические породы с порфировой структурой. По составу аналогичны гранодиоритам. Во вкрашениниках присутствуют плагиоклаз, калиевый полевой шпат, реже роговая обманка, биотит и кварц.

По химическому составу (табл.3) гранодиориты, кварцевые диориты и плагиограниты относятся к породам, пересыщенным SiO_2 и очень бедным шелочами. Первые пересыщены глиноzemом. Диорит относится к легкомеланократовым породам, насыщенным SiO_2 и редко селенитом шелочами. Гранодиориты и плагиограниты приблизительно соответствуют средним составам тоналитов, кварцевые диориты — кварцевым диоритам, по Р.Дэли.

Породы третьей фазы представлены гранит-порфиром № 34–48, образующими небольшие массивы и мелкие штокообразные тела площастью от сотен квадратных метров до 1–8 км². Форма массивов и тел в плане округлая, удлиненно-округлая и удлиненная. Последние обычно вытянуты в северо-восточном редко в северо-западном и субширотном направлениях. По распространенности они составляют 4% всех интрузий ульского комплекса. Массивы и тела гранит-порфиров в пространстве обычно приурочены к интрузиям второй фазы и имеют с ними активные контакты.

Гранит-порфир представляют собой породы розового-серого цвета с порфировой структурой и аллитовой или микропегматитовой структурой основной массы. Они состоят из олигоклаз-андезина № 27–35 (30–45%), кварца (30%), калиевого полевого шпата (20–35%), биотита и роговой обманки (до 3–5%). Во вкрашениниках (40–70%) встречается кварц, плагиоклаз, калиевый полевой шпат.

Таблица 3

Химический состав пород второй фазы ульского интрузивного комплекса

Компоненты	Праводиорит. Левобережье р. Кирсан, 1,5 км за- паднее вер- шины T466 Обр. 595Б	Диорит. Правобережье р. Бирюзовая, 1 км на ССВ от вершины III9 М. Обр. 165	Кварцевый диорит. Левобережье р. Ижанда, 1,5 км юж- нее вершины III15 М., Обр. 543	Плагиогранит. Левобережье р. Налек, 2,5 км на ССВ от вер- шины III17 М. Обр. 1617	Q	a/c	Q
SiO ₂	65,36	47,96	60,28	66,24			
TiO ₂	0,72	0,93	0,82	0,48			
Al ₂ O ₃	14,96	21,92	17,14	15,08			
Fe ₂ O ₃	1,99	2,44	2,04	1,2			
FeO	3,87	7,89	6,13	4,44			
MgO	2,72	5,29	2,79	1,54			
CaO	4,33	10,8	6,6	4,09			
Na ₂ O	2,8	2,0	2,36	2,76			
K ₂ O	2,16	0,3	1,28	3,16			
H ₂ O	0,12	0,44	0,04	0,36			
П.п.п.	0,84	0,84	0,82	1,12			
Сумма	99,87	100,81	100,30	100,47			

Продолжение табл.3

Номер образца	a	c	b	s	f'	m'	a'	n	t	φ	a/c	Q	
595Б	9,36	5,32	10,1	75,22	52,34	44,97	2,68	66,18	I6,II	0,82	I,7	26,4	
I65	5,2I	I3,40	2I,07	60,3I	49,47	46,29	-	9I,43	I0,6	I,63	0,32	3,I9	
543	7,2I	8,28	I2,87	7I,64	6I,3	38,I2	-	0,55	74,5	I4,36	0,98	0,85	20,58
I617	I0,64	4,83	7,94	76,58	65,2I	33,04	-	I,73	57,I4	I2,I7	0,54	2,2	27,06

Мелкочешуйчатый слюдит обычно окаймляет вкрапленники кварца.

Гранит-порфир из района верховьев р. Миваки имеют следующий химический состав (%): SiO_2 - 72,0; TiO_2 - 0,27; Al_2O_3 - 14,35; Fe_2O_3 - 0,64; MnO - 0,85; CaO - 2,61; Na_2O - 3,8; K_2O - 1,7; H_2O - 0,04; п.л.п. - 0,4; сумма - 100,27. Числовые характеристики по А.Н. Заварикову: а - 10,44; с - 3,04; в - 7,14; г - 79,38; φ' - 52,77; η' - 19,44; а' - 27,77; п - 77,21; φ - 7,41; т - 0,24; а/с - 3,4; q - 34,84. Согласно анализу гранит-порфира относятся к породам, пересыщенным SiO_2 и глиозомом, белым щелочами.

С интрузиями ульского комплекса, в особенности с его второй (главной) фазой, генетически связаны довольно многочисленные жильные породы, представленные дюоритами (δCr_1), спессартитами и керсантитами (χCr_1), аplitами (αCr_1), гранитами и гранодиоритами (γCr_1), а также кварцевыми жилами (ϑCr_1). Они образуют даеки и жилы протяженностью от десятков метров до 0,7–1,0 км и мощностью от 5–50 см до 10–75 м. Преобладают даеки с углами падения 50–80° или вертикальные. Значительно реже встречаются пологие и межластовые даеки. Простирание различное, преобладает северо-восточное и субширотное. Контакты даек обыч но прямолинейные или слабо извилистые. Только некоторые лампрофировые даеки имеют замысловато извилистые контакты и сложное зональное по составу и структуре строение.

Контактовый метаморфизм вмещающих пород в зонах экзоконтактов интрузий проявляется в ортогнейсации, окарбонизации и пиритизации. Наиболее развитые имеют контактные роговики, представленные слюдисто-кварцевыми, эпидот-диопизит-кварцевыми и кварцевыми разностями. Местами вмещающие породы превращены во вторичные кварциты (нижнее течение р. Олонго). Ширина зон контактного метаморфизма достигает сотен метров и редко превышает 1–2 км. Мощность зоны контакто-измененных пород вокруг габбро-ных массивов не превышает 100 м.

В связи с раннемеловыми гранитоидами в ряде мест хр. Прибрежного встречена улогая вкрашенная минерализация молибдита и халькопирита. При шлиховом отборовании гидросети, прорезающей интрузии нижнего мела, в пробах были обнаружены единичные знатки молибдита, таленита, халькопирита, висмутита, бисмутита, золота, арсенопирита и шеилита.

Для интрузий ульского комплекса на территории листа характерны следующие особенности: пространственная приуроченность к

плотадям развития средних эфузивов верхней кри – нижнего мела, близость их возраста и состава; послескладчатый тип, их дискордантность в отношении структур вмещающих толщ и явная связь с разрывными нарушениями; многофазность формирования; наличие габбровых пород в составе начальной фазы внедрения; широкое распространение гранодиоритов и диоритов (первых в особенности) в составе главной фазы внедрения и вообще по сравнению с другими породами комплекса; широкое развитие жильных пород (гранодиорит – и гранит-порфир, диориты, лампрофир и др.); преобразование развития в зонах экзоконтактов роговиков и обильной вкрапленности пирита. Эти особенности позволяют отнести интрузии комплекса к габбро-диорит-гранодиоритовой формации, входящей в состав габбро-диорит-гранитной группы формаций (Кузнецов, 1964 г.).

Нижняя возрастная граница ульского интрузивного комплекса определяется по активному контакту с породами джелонской свиты (г γ Cr₁), а также квартцевыми жилами (г ϑ Cr₁). Они образуют даеки и жилы протяженностью от десятков метров до 0,7–1,0 км и мощностью от 5–50 см до 10–75 м. Преобладают даеки с углами падения 50–80° или вертикальные. Значительно реже встречаются пологие и межластовые даеки. Простирание различное, преобладает северо-восточное и субширотное. Контакты даек обычно прямолинейные или слабо извилистые. Только некоторые лампрофировые даеки имеют замысловато извилистые контакты и сложное зональное по составу и структуре строение.

Контактовый метаморфизм вмещающих пород в зонах экзоконтактов интрузий проявляется в ортогнейсации, окарбонизации и пиритизации. Наиболее развитые имеют контактные роговики, представленные слюдисто-кварцевыми, эпидот-диопизит-кварцевыми и кварцевыми разностями. Местами вмещающие породы превращены во вторичные кварциты (нижнее течение р. Олонго). Ширина зон контактного метаморфизма достигает сотен метров и редко превышает 1–2 км. Мощность зоны контакто-измененных пород вокруг габбро-ных массивов не превышает 100 м.

П о з д н е м е л о в ы е и н т р у з и и (г γ Cr₂)

Гранитоиды, отнесенные к верхнему мелу, встречены только в районе горы Богданова, в бассейне одного из правых притоков р. Бол. Джалон, у северной границы отложиваемой территории, где они слагают интрузионный массив, являющийся частью очень крупной Меджской интрузии, расположенной за пределами территории, к

северу. Форма массива близка к изометричной, контуры слабо изогнуты. Площадь не превышает 10-12 км². Границы прорывают породы джелонской и мериконской свит, метаморфизуя их на контактах. Судя по сравнительно широкой зоне контактных изменений имеющих пород, контакты интрузий должны быть сравнительно пологими.

Породы представлены очень светлыми, розово-серыми, массивными, среднекристаллическими биотитовыми плагиогранитами (тоналигами). Структура плагиогранитов типично морфозернистая. В их состав входит зональный олигоклаз-андезин № 33 (50-60%), кварц (25-30%), калиевый полевой шпат (до 5-10%), биотит (5-10%). Инердка встречается единичные кристаллы роговой обманки.

Химический состав плагиогранитов (в %): SiO_2 - 67,36; TiO_2 - 0,36; Al_2O_3 - 17,72; Fe_2O_3 - 1,3; FeO - 1,69; MgO - 1,27; CaO - 4,07; Na_2O - 4,0; K_2O - 1,25; H_2O - 0,04; п.п.п. - 0,76; сумма - 99,82. Числовые характеристики по А.Н.Заварикову: а - 10,7; с - 4,9; в - 8,0; с - 76,5; а' - 39,8; ф' - 33,8; м' - 26,3; п - 82,8; ф - 13,6; т - 0,4; а/с - 2,2; Q - 26,6. Согласно анализу плагиограниты относятся к породам, пересыщенным SiO_2 и глиниземом, очень бедным щелочами. Они соответствуют составу тоналиита, по Р.Дэли.

С позднемеловой интрузией связаны многочисленные дациты и долориты - породы фириотов ($\delta_{\mu}\text{Cr}_2$) и гравианиты. Долки этих пород аналогичны дацитам жильных пород нижнего мела. Контактовый метаморфизм имеющихся пород также аналогичен раннемеловым интрузиям.

На территории листа не было встречено полезные минералы, за исключением в связи с позднемеловыми плагиогранитами. Лишь в шлихтах пробах, отбитых из рыхлых четвертичных отложений рек, прорезающих интрузии, были обнаружены единичные залежи шеелита.

Нижним возрастным пределом плагиогранитов является нижнелюдовской возраст континентальных мериконской свиты, которые они прорывают. На соседней к северу территории гранитоиды Медведско-го массива, к которому относятся и плагиограниты района, прорывают тонкую кислых эфузивов верхнемелового возраста. Абсолютный возраст плагиогранитов из долины правого притока р.Бол. Джелон, в 4,5 км восточнее вершины горы Богданова, по определению Н.И.Полевого (ВСЕГЕИ), равен 86 млн. лет (К - Аг метод по валовому составу), что соответствует верхнему мелу. Очень близкий, также верхнемеловой, возраст (72 ± 4 млн. лет) имеют грани-

томы и других частей Медведского массива к северу от описываемой территории.

ТЕКОНИКА

Территория листа №-53-Х расположена в пределах северо-восточной части Ульского мезозойского прогиба (Нагибина, 1963; Шпак, Гольденберг и др., 1962), наложенного на нижнепротерозойские и палеозойские структуры Становика-Джуликана и Улько-Шантарского синклиниория (Нагибина, 1963). Крайне незначительные по площади участки последних входят в пределы описываемой территории на севере и юге. По Л.И.Красному (1952Ф, 1955, 1960), исследованный район входит в состав Ульско-Хотского вулканического пояса. Пояс является краевым прогибом, которым Монголо-Охотский складчатый пояс отделяется от области протерозойской складчатости Становика-Джуликана.

Ульский наложенный прогиб протягивается в субширотном направлении от верховьев р.Уль до ее устья и далее в северо-восточном направлении уходит за пределы района. На основании различий в литологическом составе пород, условиях их залегания и образования, а также в характере складчатых структур можно выделить три структурных этажа, соответствующих крупным этапам развития земной коры на территории листа. Нижние два этажа объединяют породы, слагающие домезозойский складчатый юнглаймент, а верхний – осадочно-вулканогенные образования мезозоя, выполняющие Ульский прогиб (рис.2). Структурные этажи разделены значительными стратиграфическими и резкими угловыми несогласиями.

Нижний структурный этаж сложен интенсивно дислокированными метаморфическими породами куманской свиты нижнего протерозоя. Они образуют древний кристаллический фундамент, на котором располагаются более молодые геологические образования, и относятся к области протерозойской складчатости Становика-Джуликана, окаймляющей с юга и юго-востока Алданский прогиб. В пределы листа входит незначительная часть этой области на северо-западе территории. Породы этого этажа отличаются сильным расслаиванием, катаклизом, миллинизацией. В них часто отмечаются брекчики трещин и зеркала скольжения. Все эти изменения связаны с динамометаморфизмом в зоне глубинного разлома, который геологами ВАГА Н.С.Шпак, В.И.Польденбергом и В.М.Моралевым

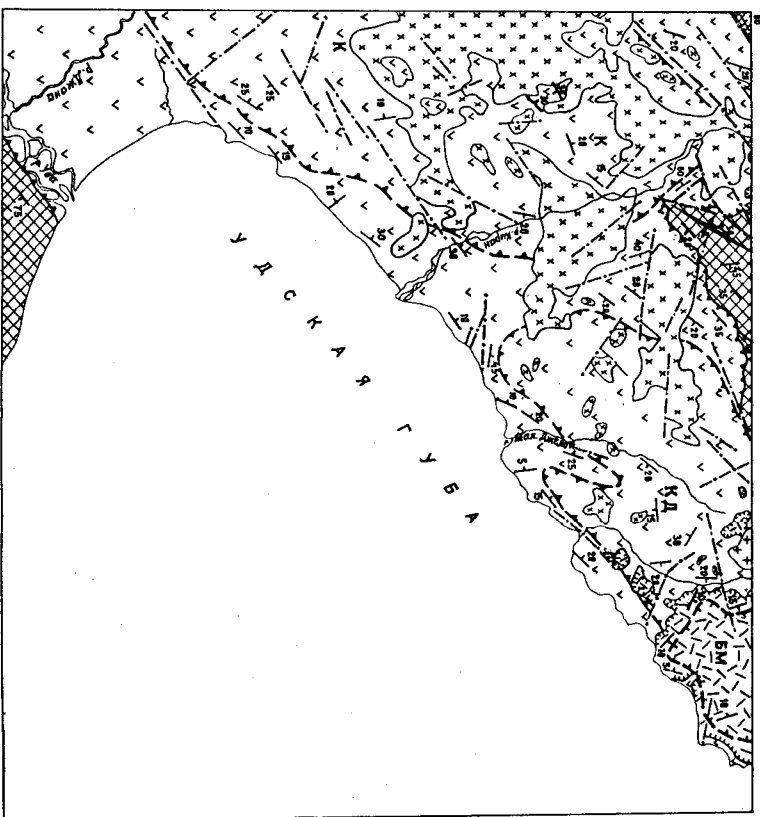


Рис.2. Тектоническая схема

1-3 - нижний структурный этаж (область протерозойской складчатости Становища-Джульяра); 1 - метаморфические породы куманской свиты нижнего протерозоя; 2, 3 - средний структурный этаж (Ульско-Шантарский синклиниорий); 2 - карбонатно-кремнистая толща и основные эфузивы усунской свиты верхнего девона (?); 3 - осевая линия антиклинальной структуры; 4-9 - верхний структурный этаж (Ульский наложенный прогиб); 4 - нижний структурный ярус; 4 - осадочно-вулканические породы джелонской структуры верхнероско-нижнепротерозойского комплекса нижнего мела; 5 - интрузии ульско-тур (Кирасской, КП - Кильм-Джелонской); верхний структурный ярус; 7 - осадочно-вулканические породы малейской и мериконской свит нижнего мела, тольвийских эфузивов верхнего мела; 8 - плагиграниты верхнего мела; 9 - мульды брахисинклинальных структур (БМ); 10 - глубинный разлом; 11 - разрывные нарушения; 12 - границы между структурными этажами; 13 - границы между структурными ярусами; 14 - элементы залегания пород

(1962) назван Джульярским (Пробрежный разлом в поимами Л.И.Красного, 1960). Характер складчатости из-за чистоюной плотности развития пород и очень плохой обнаженности полностью не выяснен. Но, по данным В.Н. Можкина (1960), В.Ф.Зубкова (1962), Л.И.Красного (1960), породы нижнего протерозоя смяты в линейные складки, вытянутые в северо-восточном направлении на большие расстояния. Складчатость имеет изоклинальный характер с углами наклона осевых плоскостей 40-80° на северо-запад.

Средний структурный этаж объединяет карбонатно-кремнистые и эфузивные породы предположительно нижне- и верхнедевонского возраста. Выходы пород нижнего и верхнего девона (?) пространственно разобщены. Первые встречены на юге, а вторые - на севере территории. Палеозойские образования относятся к Ульско-Шантарскому синклиниорию, являющемуся одной из крупных структур северо-восточной части Монголо-Охотского складчатого пояса. Породы этого отличаются меньшими метаморфизмом и дислокированностью. Карбонатно-кремнистые породы нижнего девона (?) являются геосинклинальными отложениями. В пределах территории они имеют моноклинальное залегание с северо-восточным простиранием и крутым (70-80°) юго-восточным падением. За пределами территории, к западу и юго-западу, Л.И.Красный и Ю.Ф.Чемерниковым, В.В.Онихилюзовским, В.А.Ярмолюком и др. (1950 ф., 1952 ф., 1956, 1960) отмечается характерное для среднепалеозойской структуры чередование сравнительно узких и длинных складок.

Основные вулканогенные породы верхнего девона (?) в бассейне р.Иканды залегают более спокойно. Возможно, что здесь

сказались близость от поверхности жесткого кристаллического докембрийского фундамента. Верхнедевонские (?) эфузивы в простых линейных складках северо-восточного простирания с углами наклона крыльев от 20 до 50°. Из наиболее крупных структур эта же можно отметить антиклинальную складку, которая вытянута вдоль долины р.Иканды в северо-восточном направлении. Ядро антиклинали сложено конгломератами, а крылья - эфузивами. Угол падения пород юго-восточного крыла 20°, а северо-западного - 30-35°. Амплитуда размаха крыльев около 1 км. Антиклиналь расположена на расстояние до 7 км.

В состав восточного структурного яруса входят осадочно-тuffогенные и вулканогенные образование от верхней юры до верхнего мела включительно, а также прорывание их интрузии мелового возраста. Указаные породы слагают почти всю территорию листа. Общая мощность пород этого

3000–3300 м. На основании различий в характере складчатых дислокаций и вещественном составе пород верхний структурный этаж подразделен на два структурных яруса: нижний – верхнеджерско-нижнемеловой и верхний – нижне-верхнемеловой. Структурные ярусы разделены между собой разрывом и угловым несогласием.

Породы, слагающие нижний структурный ярус, имеют на территории преобладающее распространение. Они представлены осадочно-туфогенными и вулканогенными среднего состава породами джелонской свиты верхней юры – нижнего мела, а также гранитоидами, значительно реже – габроидами уздского интрузивного комплекса нижнего мела. Формирование интрузий этого комплекса тесно связано с разрывами нарушениями. Облая мощность яруса 2000–2100 м. Для нижнего структурного яруса характерна брахиоскладчатая форма дислокаций с относительно пологими структурами. Они имеют общее северо-восточное направление с углами падения крыльев складок от 5–10° до 20–30° (пребывают 15–25°). Местами наблюдаются более крутое (40 – 60 °) углы падения пород, что обычно связано с более сильной дислокацией в зонах разрывных нарушений и экзоконтактов интрузивных массивов.

В пределах территории породы нижнего структурного яруса образуют две очень крупные брахисинклинальные структуры, в объеме вытянутые в северо-восточном направлении. Это Кирсанская и Кимы-Джелонская брахисинклинали, разделенные попечным антиклинальным поднятием. Мульда брахисинклиналей выполнена эфузионными верхней подсвиты джелонской свиты, а на крыльях обнажаются породы нижней подсвиты этой же свиты. Киранская брахисинклиналь (ее восточная часть) расположена на юго-западе района, в бассейнах рек Джана и Кирсан. Протяженность структуры около 30 км, ширина от 35 км в бассейне р.Джана до 10–12 км в бассейне р.Кирсан. Падение пород на крыльях достигает 30° , преобладающие углы падения 15 – 25 °. Кимы-Джелонская брахисинклиналь протягивается также в северо-восточном направлении на 65–70 км, от широты мыса Носорог до среднего течения р.Немур (за пределами территории). Максимальная ширина структуры 20–25 км. Падение пород на крыльях колеблется от 15–20° до 30° . Юго-западное окончание брахисинклинали осложнено выглаживанием. Крылья структуры осложнены более мелкой брахиоскладчатостью различных порядков.

На описываемой территории наиболее четко выражены брахисинклинальные структуры, имеющие в плане овальную, удлиненную, передко неправильную форму. Брахисинклинальные структуры выражены очень нечетко. Они имеют в плане неправильную форму с из-

вилистыми очертаниями и обычно охватывают довольно широкие площади, но иногда имеют форму узких перегибов между широкими синклиналями.

Верхний структурный ярус включает в себя кислые эфузивы магнезиальной и туфогенно-осадочные породы Мериконской свиты нижнего мела, толщу кислых эфузивов и платиграниты позднемелового возраста. Они имеют ограниченное распространение и встречаются только на северо-востоке территории, а также в междуречье Кирсан-Икканды, у северной ее границы. Облая мощность яруса 1000–1200 м. Для верхнего структурного яруса также характерна брахиоскладчатая форма дислокаций, но с углами падения крыльев складок 5–10°, редко до 15° . В отличие от нижнего структурного яруса, брахисинклинали которого отчетливо вытянуты в северо-восточном направлении и часто имеют форму относительно правильных удлиненных овалов, структуры верхнего яруса имеют, как правило, расплывчатые и извилистые очертания и не полностью наследуют структурный план нижележащих образований. Из крупных структур яруса в пределах территории находится юго-восточное окончание Бонгая-Медийской брахисинклинали, большая часть которой расположена за пределами района к северу.

Облая форма структуры неправильная овальная, близкая к грушевидной. В район заходит ее наиболее узкая часть. Простирание длинной оси брахисинклинали северо-западное, общая протяженность 40–45 км (10 км на описываемой территории), максимальная ширина 40–45 км, минимальная – около 12–15 км (территория листа). Мульда структуры выполнена породами той же кислых эфузивов верхнего мела, крылья сложены континентальными мериконскими породами нижнего мела. В отличие от нижнего структурного яруса в пределах Бонгая-Медийской брахисинклинали практически не наблюдается осложняющих ее более мелких складок. Может быть, отчасти это связано со значительно хужею обнаженностью пород этого яруса. Только близ юго-восточного замыкания Бонгая-Медийской структуры, к северо-западу от мыса Маджалинда, намечается небольшая дополнительная синклиналь с размахом крыльев около 1,5 км. Ось этой структуры ориентирована в субмеридиональном направлении, падение пород на крыльях не превышает 10° .

В геологической структуре района значительная роль принадлежит многочисленным разрывным нарушениям. Встрече уже упоминалась зона Джуджурского разлома, охватывающая крайний северо-запад территории листа и протягивающаяся далеко за ее пределы в юго-западном и северо-восточном направлениях. Заложение разлома про-

изошло еще в нижнем протерозое. За пределами территории к нему приурочены интрузии анортозитов и гнейсовых платигранитов нижнего протерозоя. В пределах зоны широко проявины процессы динамометаморфизма, выражавшиеся в появлении относительно широких полос миллидов и катализитов, развившихся по гнейсам Куманской свиты нижнего протерозоя, а также брекчий трения, зеркал скольжения и т.п. По одному из крупных разрывных нарушений, входящих в зону глубинного разлома, произошел надвиг город нижнего протерозоя на афузивы нижнего мела. Вероятно, с подвижками по зоне Джугдукского глубинного разлома связано формирование Джского наложенного прогиба.

Большое количество более мелких разрывных нарушений связано с формированием верхнего структурного этажа. Они имеют мезозойский возраст. Среди них отмечается нарушения северо-восточного, северо-западного и реже субширотного простирания. Наиболее разрывов северо-восточного направления подтверждается лигие разрывы аэромагнитной съемкой, которой установлены для нарушения близ береговой линии территории (рис.3). Протяженность наиболее крупных разрывов достигает 10–15 км, редко 18–20 км, обычно же не превышает 5–8 км. Углы наклона плоскостей смещения от 40–45 до 60–80° и вертикальных. Крупные разрывные нарушения являются сбросами и выбросами мелкими, передко опирающимися первые. Разрывные нарушения характеризуются сравнительно небольшими амплитудами вертикального смещения, достигающими 10–15 м у мелких и сотен метров у крупных разрывов. По своему типу нарушения являются сбросами и выбросами. Разрывными нарушениями обусловлена прямолинейность контактов некоторых интрузивных массивов в центральной части территории. Крупными разрывными нарушениями обусловлена также вытянутость интрузий или их частей в тех же направлениях, что и основных систем разрывов.

Разрывные нарушения сопровождаются зонами брекчирования, различного вида, катаклаза (преимущественно в интрузивных породах), зеркалами скольжения, резкой и мелкой складчатостью. Последняя характеризуется складками разнообразной формы, передко лежачими и опрокинутыми, с амплитудой размаха крыльев от 1–2 до 60 м (побережье Ульской губы в 4 км на запад-юго-запад от устья р. Олондо) и углами наклона их до 40–50°, редко до 60–80°. Мощность зон нарушенных пород колеблется от нескольких метров до первых сотен метров. Вдоль некоторых разрывных нарушений наблюдаются выходы грунтовых вод (между р. Иканды – Мал.Джелон, правобережье р.Бол. Джелон, между р.Каран – Отё).

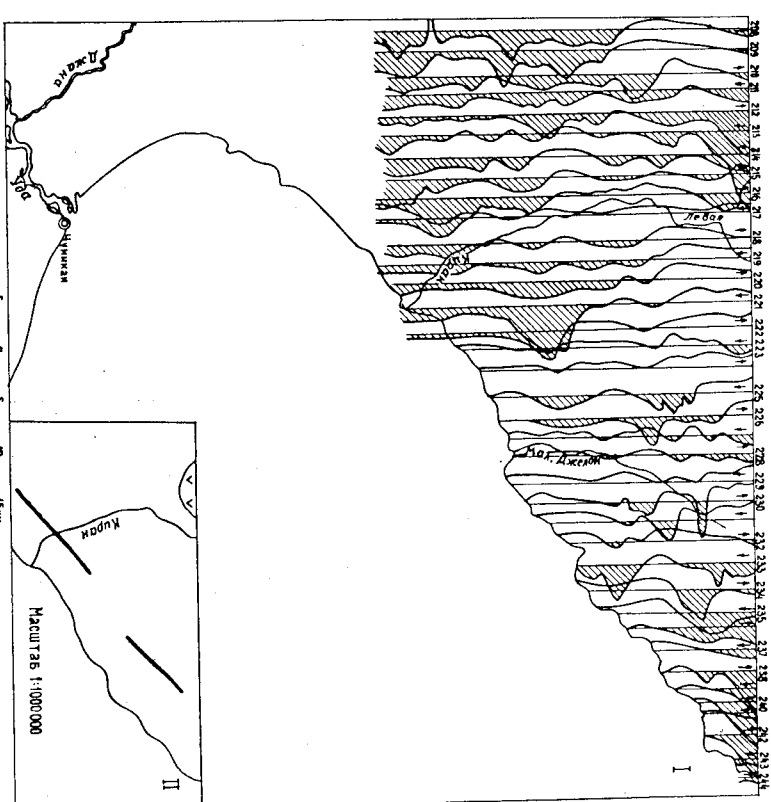


Рис.3. Карта графиков ΔT (1) и схема интерпретации (II) по Е.Г.Херувимовой и В.А.Дарионову (1957)
1 - положительные значения ΔT ; 2 - отрицательные значения
 ΔT ; 3 - интрузии; 4 - зоны разрывных нарушений

Отмеченные системы разрывных нарушений формировались, видимо, на протяжении всего юрского и мелового периодов одновременно с развитием Удского наложенного прогиба. Некоторые разрывы могут иметь и более молодой, чем мезозойский, возраст. С ними связано внедрение крупных субафлюзивных даек апвелло-базальтов палеогена (?), выклинивших, очевидно, жерловой фацией средних и новых афлюзитов мезаванской свиты.

ГЕОМОРФОЛОГИЯ

В пределах территории выделяется пять генетических групп типов рельефа: эрозионный со следами нивальной обработки, эрозионно-денудационный, ледниковый, эрозионно-аккумулятивный и абразионно-аккумулятивный.

Эрозионный рельеф со следами нивальной обработки

Ведущую роль в формировании этого рельефа играет флювиальные процессы и склоновая денудация с преобладанием гравитационных процессов. В зависимости от состава пород они привели к образованию двух различных морфогенетических типов рельефа:

горного резко расчлененного и горного массивного.

Горный резко расчлененный рельеф развит преимущественно на осадочно-туфогенных и вулканогенных породах. Он распространен в районе наиболее широко.

Рельеф характеризуется узкими, сложно разветвленными водораздельными гребнями, глубоко врезанными долинами и крутыми склонами, расчлененными многочисленными распадками. Главные водораздельные гребни имеют высоту 900–1400 м при относительных превышениях 500–700 м. Склоны хребтов ровные или слабовогнутые с многочисленными скальными останцами. Склоны долин и водораздельных гребней нередко покрыты осипами. В приводораздельной части хребтов осипы чаще всего незакреплены, подвижны. Они нередко прикреплены к руслам распадков и образуют каменные реки, которые заканчиваются осипными кусками выноса. Наряду с незакрепленными и развивающимися, в нижней части склонов встречаются частично или полностью задернованные и поросшие лесом опушки.

Реки и ручьи в верховых интенсивно эродируют и имеют глубоко врезанные, узкие, V-образные, местами каньонообразные долины.

В их руслах нередки пороги, а иногда и водопады. В среднем и нижнем течении рек долины приобретают трапецецидантную форму.

Горный массивный рельеф развит преимущественно на интрузивных породах, нижнемеловых конгломератах и песчаниках мерионской свиты. Он характеризуется мягими очертаниями водоразделных гребней с относительно небольшой густотой эрозионного расчленения, особенно в приводораздельной части склонов. Высота водоразделов 900–1300 м при относительных превышениях 400–600 м. Ширина их колеблется от 50 до 300 м. Водоразделы пологовыпуклые и плоские с куполовидными, нередко уплощенными вершинами. Склоны в верхней части, как правило, выпуклые. Склоны долин и водораздельных гребней покрыты щебенисто-глыбовыми осипями, местами поросшими на небольших участках кедровым столяником. Верховья рек и ручьев большей частью заны слабо. Ниже по течению долины приобретают V-образную форму. В среднем и нижнем течении долины рек имеют обычно трапецидальную форму.

Эрозионно-денудационный рельеф

Выделяются два морфогенетических типа описанного рельефа: грядово-солончаковый с реликтами денудационной поверхности и расчлененная денудационная поверхность.

Грядово-солончаковый рельеф характерен для юго-восточных отрогов хр.Прибаженного и южных отрогов хр.Саладжак. Небольшой участок такого рельефа расположен в среднем течении р.Кирен. Отличительной особенностью этого типа рельефа является примерная одновысотность водораздельных гребней – 250–350 м в южной части района, от 400–450 до 600–650 м на северо-востоке – в юго-восточных предгорьях хр.Прибаженного. Для рельефа характерны слегка холмистые водораздельные поверхности с плоскими, реже куполовидными и конусообразными вершинами.

Ширина водоразделов 200–300 м, местами 500–700 м. Крутзна склонов в пределах водораздельных поверхностей обычно не превышает 5–8°. В большинстве случаев грядово-солончаковый рельеф отличается от горного четко выраженным уступом. Этот рельеф, по-видимому, образовался в результате расчленения единой денудационной поверхности, реликты которой сохранились лишь в виде выпложенных водоразделов. Густота расчленения сравнительно невелика.

Верхонья рек обычно сладко врезаны. Ниже по течению долины в поперечном сечении имеет V-образную и трапециoidalную форму.

Расчленение на альлювиальную, приуставную, надпойменную террасы широкое развито в приуставной части рек Кирен, Огнё, Мал.Джелон, где к ней примыкает поверхность III надпойменной террасы высотой 60–100 м. В южной части территории она прослеживается вдоль левобережья р.Уды. Высота поверхности колеблется в пределах 100–200 м. Она слабо расчленена эрозией. Водораздельные пространства достигают ширины 1–3 км. Для них характерна плоская, местами пологоволнистая поверхность, на дне которой выделяются отдельные гривы и останцы высотой 10–30 м. Крутизна склонов в пределах водораздельных поверхностей обычно не превышает 3–4°. Долины рек и ручьев врезаны на глубину 60–80 м. Склоны долин имеют крутизну 15–20°, в приуставной части – до 25–30°. В ряде случаев денудационная поверхность без ясно выраженного уступа переходит в поверхность III надпойменной террасы.

Ледниковой рельеф

Ледниковый рельеф имеет небольшое распространение. Хорошо сохранившиеся формы его встречаются в верховьях правого притока р.Огнё (район высоты 1482 м). Абсолютная высота водораздельных гребней достигает здесь 1200–1400 м, относительные превышения 700–800 м. Долины ручьев в этом районе имеют в верхнем течении форму трогов, протяженность которых не превышает 1–1,5 км. Крутизна склонов 40–45°. Ниже по течению долины приобретают V-образный поперечный профиль. Днища трогов перекрыты мореной, поверхность которой имеет характерный холмисто-западинный рельеф. В истоках ручьев расположены ледниковые кары. Днища последних плоски, или слабо вогнутые, иногда ступенчатые, шириной 600–800 м. Склоны каров крутизной 40–50°, в верхней части обрывистые, покрыты осинами.

Эрозионно-аккумулятивный рельеф

К эрозионно-аккумулятивному рельефу относится серия надпойменных и пойменных речных террас, возраст которых определяется возрастом слагающих их аллювийальных отложений. Самой высо-

кой (60–100 м) является III (нижнечетвертичная) терраса, которая наиболее широко развита в долине р.Кирен и в нижних течениях рек Бол. и Мал.Джелон, Огнё, Салагат, Антыкан. Терраса цокольная. Ширина ее обычно достигает 1–2, редко 5–7 км (район побережья между реками Мал.Джелон и Барбаш). Терраса большей частью эрозионная, лишена аллювийального чехла. Там, где поселений встречается, мощность его колеблется от 1–2 м (р.Икканда, среднее и верхнее течение р.Кирен) до 12–20 м (прибрежно-морская часть территории), реже до 40–60 м (приморская часть рек Кирен и Огнё). В долине р.Уды эта терраса перекрыта более молодыми отложениями и является погребенной. II надпойменная терраса (среднечетвертичная) развита преимущественно в долинах рек Уды и Джана, где слагает аккумулятивную террасу высотой 30–60 м. Вверх по р.Джана высота ее снижается до 10–15 м. В горной части территории терраса ведуща поклонной высотой от 10–15 м в верхнем течении рек до 25–30 м в нижнем. Ширина террасы от первых сотен метров до 0,8–1,2 км. В южной части территории II терраса соответствует аккумулятивной равнине шириной до 20 км, образованной террасами рек Уда, Джана и Тыль.

I надпойменная терраса (верхнечетвертичная) широко развита в долинах большинства рек. Высота ее в верхнем течении рек до 2–2,5 м, а в среднем и нижнем – от 5–6 до 10–15 м. Терраса аккумулятивная и только местами в верхнем течении рек имеет поклонное строение.

Пойма развита в долинах всех рек и ручьев. Высота пойменных террас колеблется от 0,5–0,7 м в верхнем течении рек до 2–3 м в нижнем. В долине р.Уды высота их достигает 4–5 м. Пойма пойсоди аккумулятивная. Однако нередко выходы коренных пород наблюдаются непосредственно в руслах рек.

Из других аккумулятивных форм можно отметить сравнительно немногочисленные конусы выноса и сухие дельты в устьях распадков с временными водотоками. Размеры их достигают 200–300 м в длину, 50–80 м в поперечнике и 20 м в высоту.

Аброзионно-аккумулятивный рельеф

В пределах территории абразионный тип берега пользуется наибольшим распространением. Для участков, сложенных рыхлыми породами, характерна ровная береговая линия и широкий пляж (юго-восточнее оз. Букуё). На участках, сложенных коренными

породами, преобладает суховой абразионный берег. Наиболее интенсивно абраziруется северо-восточная часть побережья, особенно к северо-востоку от устья р.Бол. Джелон. Здесь к береговому уступу часто примыкает абразионная платформа, сложенная коренными породами. Нередко абразионный уступ обрывается в море. Характерным элементом абразионного берега, сложенного коренными породами, являются надводные и подводные камни, а также скальные останцы (кекуры). I морская терраса развита в районе устья р.Уды, где имеет высоту 5-6 м. В окрестностях с.Чумикан на поверхности террасы прослеживается система береговых валов высотой 1,5-2 м, вытянутых параллельно берегу. Из других аккумулятивных морских форм рельефа необходимо отметить прерывистый и относительно неширокий пляж, аккумулирующий подводную террасу (вершины бухт) и небольшие современные пересипы близ устья р.Игаки (юго-западнее устья р.Каран).

В заключение следует отметить, что на протяжении большей части кайнозоя территория листа испытывала обще дифференцированное поднятие, продолжавшееся и в настоящее время.

ПОЛЕЗНЫЕ ИСКОПАЕМЫЕ

ГОРИЧЕ ИСКОПАЕМЫЕ

Т в е р д ы е г о р ю ч и е и с к о п а е м ы е

Каменный уголь

Линзообразные прослои и линзы каменного угля встречаются среди осадочно-туфогенных пород нижней половины джелонской синты верхнепреко-нижнемелового возраста. Они приурочены к средней части разреза этой половины и распространены на побережье Удской тубы. Мощность прослоев и линз каменного угля колеблется от 0,2-2 до 3-5 м, редко до 10 м, как исключение, до 35-50 см. Длина прослоев 0,5-1, редко до 5-6 м.

В районе выявлены два проявления каменного угля. Одно из них (22) расположено по правобережью правого нижнего притока р.Биракачан, в 2,8 км выше устья (координаты: 135°31', в.д. и 55°08' с.ш.), а второе (24) — по правобережью р.Олондо, в 0,4 км выше устья (координаты: 135°34', 40" в.д. и 55°06', 20" с.ш.). Вместе с тем породами являются туфы, туфобрекчи, туфопесчаники, углисто-глинистые сланцы, местами с растительным остатком.

тальям леприотом и обломками стволов окаменелых деревьев. Проявление 22 расположено в зоне аквоконтакта массива гранодиоритов и диоритов Удского интрузивного комплекса нижнего мела. Вмещающие породы в районе этого проявления довольно интенсивно ороговикованы. Здесь отмечаются четыре линзобразных прослоя каменного угля мощностью от 3-5 до 45-50 см. Длина их не превышает 5-6 м. Близ устья р.Олондо (проявление 24) насчитывается 28 прослоев и линза угля мощностью от 1-4 до 5-15 см, редко до 20-35 см, и протяженностью до 3, редко до 5 м. Уголь черный, блестящий, хрупкий.

Каменный уголь в отложениях нижней подсвиты джелонской свиты ввиду незначительной мощности и протяженности прослоев и линз промышленного значения не имеет.

МЕТАЛЛИЧЕСКИЕ ИСКОПАЕМЫЕ

Ч е р н ы е м е т а л ы

Магнетитовые руды

Рудопроявления магнетитовых руд расположены в северной части территории. Одно из них (4) находится на водоразделе левых притоков рек Ижанда и Налек, в 4,4 км ю-юго-восточнее устьи 942 м. Координаты: 135°29', 20" в.д. и 55°17', с.ш. Оруднение представлено рассеянной вкрашиваемостью магнетита на единичных разрозненных участках в андезитовых порфириях верхней подсвиты джелонской свиты Верхней горы — нижнего мела. Участки с вкрашиваемостью магнетита неправильной, нередко извилистой в плане формы до 0,5-1 м в поперечнике. Количество магнетита в участках не превышает 15-20%. Размеры зерен от 0,01-0,02 до 0,1-0,5 мм. Зерна магнетита округлой и неправильной формы. Они нередко образуют сростки до 2-3, очень редко 5 мм в поперечнике.

Рудопроявление магнетита (9) расположено по левобережью р.Налек в верхнем течении, в 4,5 км западнее вершины горы Богданова. Координаты: 135°43', 20" в.д. и 55°19', 20" с.ш. Рудопроявление приурочено к субаккумулятивному телу андезито-базальтов меваканской свиты палеогена (?), в которых встречены участки до 0,5-1 м в поперечнике с рассеянной и гнездовой вкрашиваемостью магнетита. Содержание магнетита на участках от 10-15 до 20%. Он образует изометричные зерна, реже октаэдрические

кристаллы, размерами 0,02–0,07 мм, редко 0,002–0,01 мм. Изредка зерна образуют гнездообразные скопления до 1–7 мм в поперечнике.

На обоих рудопроявлениях стрелка компаса притягивается к участкам с закрепленностью магнетита. Аэромагнитной съемкой аномалии в районе рудопроявлений не отмечены (см. рис. 3). Указанные проявления магнетита не имеют практического значения и представляют минералогический интерес.

Помимо упомянутых рудопроявлений, связанных с коренными породами, магнетит установлен во всех шлиховых пробах. Во многих пробах он содержится в количестве более 300 г/т³. На карте полезных ископаемых нанесены шлиховые пробы, содержащие магнетит в количестве от 1,1 до 2,68 кг/т³. Большинство из них приурочено к рекам, прорезающим гранитоидные интрузии южного комплекса нижнего мела, расположенные к западу от р. Ильинки.

П е т и е м е т а л л и

Медь

Рудопроявление меди (5) установлено по правому склону долины крупного левого притока р. Ильянка, в 10,2 км выше устья; его координаты: 135°28'20" в.д. и 55°16' с.ш. Здесь, вблизи русла притока, гранодиорит южного инструментального комплекса нижнемелового возраста пересекается кварцевой жилой (азимут падения 55° под углом 10°) мощностью 15 см и протяженностью около 50 м, в которой встречаются редкие точечные включения малахита. Кварц довольно сильно хакклизирован и содержит незначительную примесь зеленовато-серого хлорита в виде гнездообразных скоплений чешуйок до 2–3 мм в поперечнике. Полуколичественный спектральный анализ^{x/} шлиховой пробы показал содержание меди 0,03–0,1%, мышьяка 0,01–0,03%, а также следы цинка, молибдена и свинца. Рудопроявление находится в пределах южного ореола минерала висмута (3). Практического значения оно не имеет.

Рудопроявление меди (7) расположено на водоразделе между р. Ольондо и левым крупным притоком р. Ильянка, в 2,7 км северо-восточнее вершины 1466 м, координаты: 135°26'20" в.д. и 55°14'20" с.ш. Вмещающие породы, представленные туфами и туфалеволитами нижней подсвиты джелонской свиты верхней юры нижнего мела, сильно перемяты и обтекированы в зоне небольшого разрывного нарушения. Они пересекаются в разных направлениях многочисленными кварцевыми прожилками мощностью 3–5 см и протяженностью до 3–5 м. В прожилках содержится редкая и мелкая вкрапленность пирита, халькопирита и единичные гнезда четвертого хлорита до 0,5 см в поперечнике. Полуколичественный спектральный анализ шлиховой пробы показал содержание меди 0,1%, цинка 0,003–0,01%, следы кобальта, серебра, ванадия, молибдена, висмута, синих.

Рудопроявление находится в пределах спектрометаллometрического ореола мышьяка (6). Практического значения оно не имеет.

Рудопроявление меди (17) обнаружено на левобережье р. Ольондо в 7,5 км выше устья, его координаты: 135°14'20" в.д. и 55°00'30" с.ш. Здесь, в зоне разрывного нарушения, вмещающие породы, представленные андезитовыми порфиритами верхней подсвиты джелонской свиты верхней юры – нижнего мела, очень сильно окварцированы и нередко превращены во вторичные кварциты. Мощность сильно окварцированных эфузивов 170–190 м. Породы местами сильно ожелезнены. К вторичным кварцитам приурочена обильная (20–30%) вкрапленность пирита. Последний встречается в виде зерен округлой и неправильной формы, кубических кристаллов размерами от долей миллиметра до 0,5 см. Он также образует прожилки 2–3 мм мощностью, до 5–10 см длиной и изометричные гнездообразные скопления до 1 см в поперечнике. Кроме пирита встречаются редкая вкрапленность халькопирита, борнита и ковеллина. Содержание полезных компонентов по результатам полуколичественного спектрального анализа шлиховой пробы: медь 0,1–0,3%, синий 0,01%, цинк 0,003–0,01%; серебро, ванадий, молибден – следы.

Рудопроявление меди (21) установлено в обрывах правого берега р. Ольондо в 5,2 км выше устья (участок Мелтая Гора, по Л.И.Красному) его координаты: 135°33'20" в.д. и 55°08'30" с.ш. Рудопроявление открыто Л.И.Красным и Ю.Ф.Чемковым в 1951 г. (1952).

В районе рудопроявления дацитовые порфириды и туфы верхней подсвиты джелонской свиты верхнемелового возраста

^{x/} Здесь и далее полуколичественные спектральные анализы рудных проб проведены лабораторией Центрального научно-исследовательского геологоразведочного института.

хлоритизированы, очень сильно окварциованы, содержат рассеянную вкрашенность пирита и пирротина, а также рудные линзы мощностью 0,2–1 м и протяженностью 1–6 м. Рудные линзы состоят из пирротина (50%), пирита и небольшого количества халькопирита, борнита. Они пересекаются многочисленными тонкими (до 1 см) параллельными прожилками обогащенного буроватого кварца, придающими линзам полосчатый вид. Результаты полуколичественного спектрального анализа двух штучных проб: медь от 0,01–0,03 до 0,1–0,3%, цинк от 0,01 до 0,03–0,1%, ванадий 0,001–0,01%, кобальт от 0,003 до 0,03–0,01%; никель, серебро, олово, молибден и свинец – следы. Близкие результаты анализов получены Л.И.Красным. Штучные пробы были подвергнуты пробирному анализу, которым установлены следы золота (лаборатория ЦНИГРИ). Рудопроявление расположено в пределах спектрометаллометрического ореола молибдена со свинцом и цинком (II).

К северу от рудопроявления (21) по левобережью р.Ольгодо, в 4,5 км от устья р.Биракачан, также встречена незначительная медная минерализация, представленная халькопиритом, борнитом и ковеллитом, в интенсивно пирротизированных вторичных кварцитах среди эфузивов верхней подсвиты джелонской свиты.

Два последних рудопроявления (17, 21) также не имеют практического значения. По своему характеру они могут быть отнесены к перспективным типам гидротермальных медно-пирротиновых и вкрашенных медных руд, в связи с чем представляют пойсковый интерес, так как указывают на возможность нахождения в пределах территории практических рудопроявлений указанных типов во вторичных кварцитах и эфузивах верхней части – нижнего мела.

При шлиховом опробовании из медных минералов встречаются единичные зерна халькопирита только в долине левого притока р.Малая Бонгай на северо-востоке листа.

Свинец

Спектрометаллометрический ореол свинца с мышьяком (I) площадью около 155 км² охватывает бассейны правых притоков р.Кирен – Талакан, Маваки. Он приурочен к вулканогенным породам среднего состава верхней подсвиты джелонской свиты верхней и средней частей и прорывающим их гранодиоритам и диоритам южного интрузивного комплекса нижнемелового возраста. Содержание

свинца и мышьяка в ореоле составляет 0,01% против 0,001%, типичного для всей территории.

Мышьяк

Спектрометаллометрический ореол мышьяка (6) площадью около 30 км² охватывает часть водораздела между дассейном верхнего течения р.Ольгодо и левыми притоками р.Иккана в районе вершин 1466 м и 1003 м. Ореол рассеяния приурочен к зонам эндогеноконтакта гранодиоритовой интрузии улского комплекса нижнего мела, прорывающей осадочно-туфогенные и вулканогенные породы джелонской свиты верхней юры – нижнего мела. Содержание мышьяка 0,01%, редко до 0,1%.

Помимо упомянутого ореола при шлиховом опробовании территории в шести пробах встречены единичные зерна арсенопирита (р.Маваки, истоки левого крупного притока р.Иккана). Шлихи с арсенопиритом отмечены в пределах спектрометаллометрических ореолов свинца с мышьяком (1) и мышьяка (6). В шлихах он ассоциирует с минералами висмута и шеелита.

Благородные металлы

Золото

Рудопроявление золота (23) установлено в береговых обрывах улской тубы, в 3 км на запад-юго-запад от устья р.Мал.Джелон; его координаты: 135°37', в.д. и 55°07', с.ш. В районе рудопроявления тубы нижней подсвиты джелонской свиты верхнеуральского мелового возраста пересечены небольшим вертикальным разрывным нарушением, имеющим azimuth простириания 340°. Нарушение сопровождается зоной дробления пород мощностью 3 м, к которой приворочены гнезда бурово-желтых охр и кварцевые прожилки мощностью до 7 см. Кварц розово-белого цвета с небольшими пустотами, стени которых покрыты пшеничными мелкими кристаллами кварца. Пробный анализ штучной пробы из кварцевого прожилка показал содержание золота 0,1 г/т (лаборатория ЦНИГРИ). Результаты полуколичественного спектрального анализа той же пробы: медь и ванадий 0,003–0,01%, цинк 0,001%, никель 0,003%, свинец, молибден, олово, кобальт – следы. Рудопроявление входит в пределы южного интрузивного комплекса нижнемелового возраста. Содержание

рических пробах, отобранных, как правило, из донных осадков.

Редкие металлы

Вольфрам

Золото в количестве 1–2 зерна встречено также в 14 полиховых пробах, отобранных из русел рек и аллювиальных террас. Оно представлено плоскими и крючковатыми, иногда окатанными зернами золотисто-желтого цвета с шероховатой поверхностью размерами от 0,02 до 0,6 мм. Шлиховые пробы с золотом рассредоточены по территории листа и не образуют ореолов рассения.

Золотое рудопроявление, по-видимому, можно отнести к нижнекотемпературному гидротермальному типу месторождений, почти не образующих россыпей. Этим, вероятно, и объясняется почти полное отсутствие золота в четвертичных отложениях территории. Однако отсутствие или очень малое количество золота не исключает возможности нахождения его коренных месторождений указанного типа. В связи с этим выявленное рудопроявление имеет поисковое значение.

Серебро

Спектрометаллургический ореол серебра (2) площадью около 24 км² охватывает бассейн правого притока р.Киран, устье которого находится в 2,2 км южнее устья р.Курунг-Урек. В пределы ореола входят гранодиориты и диориты нижнего мела и эфузивы верхней подсвиты джелонской свиты в зоне эзоконтакта этой интрузии. Содержание серебра 0,001%.

Спектрометаллургический ореол серебра (10) площадью 12 км² расположен в бассейне верхнего течения нижнего правого притока р.Бол.Джелон. Ореол приурочен к вулканогенным породам верхней подсвиты джелонской свиты верхней яру – нижнего мела. Содержание серебра 0,001% и в двух пробах 0,01%.

Спектрометаллургический ореол серебра (12) площадью около 10 км² расположен в бассейне нижнего течения р.Болган. Район характеризуется развитием осадочно-туфорогенных пород нижней подсвиты джелонской свиты, перекрытих континентальными мериконской свиты нижнего мела. Они прорваны субаффузивными даеками андезитовых и дацитовых порфиритов, кварцевых порфиров, в эзоконтакте которых часто наблюдаются обожженные зоны мощностью от 1–2 см до 1 м. Содержание серебра в ореоле 0,001–0,003%. Помимо серебра в пробах определены олово (0,001–0,003%) и незначительные количества синьца, кобальта, мышьяка, никеля и цинка.

Серебро установлено спектральным анализом в металломет-

тических пробах, отобранных, как правило, из донных осадков. Вольфрамовая минерализация на территории установлена сплошным опробованием. Она представлена шеелитом, единичные зерна которого определены в большинстве шлиховых проб. В верхних крупного правого притока р.Огнё отмечены четыре шлиха с содержанием шеелита 19–25 зерен. 13–15 зерен шеелита содержат три пробы из истоков левого крупного притока р.Иланда. Единственная шлиховая пробы с содержанием шеелита 0,05 г/м³ отобрана в нижнем течении правого притока р.Мал.Джелон, устье которого расположено в 7,6 км севернее устья реки. Шеелит представлен слабоокатанными и окатанными зернами размерами от 0,1–0,3 мм светло-желтого, реже белого цвета с хирным блеском. Небольшие содержания шеелита в шликах, при отсутствии его ореолов рассеяния с повышенными концентрациями, не представляют практического интереса.

Мolibден

На территории листа молибден установлен при спектрометаллургическом опробовании и в виде молибденита с галенитом (14) шлиховой ореол рассеяния молибденита с галенитом (14) площадью около 75 км² охватывает бассейн верхнего и среднего течения р.Огнё. В пределы ореола входят вулканогенные породы верхней подсвиты джелонской свиты, прорваные гранодиоритами и диоритами ульского интрузивного комплекса нижнего мела. Молибденит встречается в количестве от одного до нескольких зерен в единичных шлихах, разобщенных по площади ореола. Чешуйки молибдениита имеют размеры в среднем от 0,1 до 0,3 мм. В шлихах он обычно ассоциирует с шеелитом. В пределах ореола в четырех шлихах определены единичные зерна галенита размерами менее 0,1 мм. Зерна ступенчатые, кубические.

Спектрометаллургический ореол молибдена со связкой и цинком (11) площадью около 23 км² охватывает бассейн среднего течения р.Огнё и крупного правого притока р.Мал.Джелон. В пределах ореола выходят эфузивы верхней подсвиты джелонской

свиты и небольшие массивы прорывавших их трансформитов и диоритов нижнего мела. Содержание в ореоле молибдена, свинца и цинка составляет 0,01%. Содержание этих элементов, типичное для всей территории, не превышает 0,001%. В пределах ореола расположены медно-молибденовые (19) и медные (21) рудопроявления.

Спектрометаллургический ореол молибдена со свинцом и цинком (13) площадью около 80 км^2 охватывает бассейн правых притоков р. Ольги и верховья р. Салагат. В него входят гратитоиды ульского интрузивного комплекса, прорывавшие эфузивы верхней подсвиты джелонской свиты. По содержанию молибдена, свинца и цинка описываемый ореол аналогичен предыдущему.

Южнее, в бассейне р. Салагат, расположжен еще один аналогичный спектрометаллургический ореол молибдена со свинцом и цинком (16) площадью около 40 км^2 .

Источником сноса молибдена, свинца и цинка, по-видимому, могут служить гидротермально измененные эфузивы верхней подсвиты джелонской свиты в экзоконтактовых зонах интрузий ульского комплекса. Местами они превращены во вторичные кварциты. С ними могут быть связаны практические интересные рудопроявления медно-молибденового типа, аналогичные рудопроявлению (19), открытому в долине р. Ольги. В этой связи ореолы могут иметь поисковое значение.

Медно-молибденовые руды

Медно-молибденовое рудопроявление (19) расположено на правобережье р. Ольги, в 6 км выше устья; его координаты: 135°33', в.д. и 55°09'20" с.ш. Рудопроявление открыто Л.И.Красным и Ю.Ф. Чемековым в 1951 г. (1952).

Рудопроявление приурочено к очень сильно окремненным, местами превращенным во вторичные кварциты, дацитовым, реже андезитовым порфиритам верхней подсвиты джелонской свиты верхней юры – нижнего мела, прорванным мелкими интрузивными массивами и штоками нижнеловских диоритов и кварцевых диоритов. На рудопроявлении вокруг одного из штоков кварцевых диоритов на площади около $0,2 \text{ км}^2$ наблюдается следующее зональное распределение вторичных кварцитов разного состава (в стороны от штока): 1 – биотитовые кварциты, ширина зоны – первые десятки метров; 2 – мусковитизированные кварциты (60–70% мусковита),

ширина зоны – первые десятки метров; 3 – кварциты с андалузитом и мусковитом, ширина зоны 15–20 м; 4 – серилитизированные кварциты, ширина зоны 100–150 м. К трем последним зонам вторичных кварцитов приурочены участки тонкой рассеянной акролитности чешуек молибденита, гнездовой окраинленности пирита, редко халькопирита и примазок малахита. Результаты полужюльеческого спектрального анализа штучных проб: медь 0,03%, молибден 0,001%, свинец 0,01%, цинк 0,003%, ванадий 0,001%, серебро – следы. Близкие результаты анализа, за исключением несколько большего содержания молибдена (до 0,01%) и меди (до 0,1%), получены Л.И.Красным.

Рудопроявление расположено в пределах спектрометаллургического ореола молибдена со свинцом и цинком (II). Оно имеет поисковое значение.

Редкие земли

Единичные зерна минералов, содержащих редкоземельные элементы, определены в четырех шликах на северо-востоке терриклини (нижнее течение рек Бонгай и Мал.Бонгай). Минералы представлены орбитом, циртолитом и монацитом. Зерна орбиты мелкие, неправильной формы. Циртолит встречен в виде призматических кристаллов, реже – мелких обломков неправильной формы. Отмечены минералы в районе могут быть, по-видимому, связаны с изверженными породами.

Ртуть

Киноварь обнаружена в 25 шлиховых просах, которые более полной частью концентрируются в бассейне р. Налек и правого берега притока р. Мал.Джелон, а также нижнего течения последней, где образуют два четко выраженных шлиховых ореола рассеяния ($8,20$). Ореол (8) площадью около 32 км^2 охватывает осадочно-туфогенные и вулканогенные породы джелонской свиты, прорванные субэфузивными дайкообразными телами андезито-базальтов палеогена (?). Породы пересечены вертикальными разрывными нарушениями северо-восточного и северо-западного простирания. В пределы ореола (20) площадью 18 км^2 входит породы джелонской свиты, пересеченные многочисленными, преимущественно вертикальными разрывными нарушениями. Последние незначительны по

протяженности (менее 1 км), с небольшими (до 10–20 м) амплитудами вертикального смещения пород. Простирание нарушенной северо-западное и субширотное. В пределах ореола расположенорудопроявление золота (23).

Содержание киновари в шликах колеблется от единичныхзерен до 24 (устье ручья в 0,9 км западнее устья р.Мал.Джелон). Киноварь представлена угловатыми обломками красного цвета размерами от сотых долей миллиметра до 0,1–0,2, реже 0,3–0,4 мм (левобережье р.Мал.Джелон). Иногда зерна окатаны и покрыты тусклым налетом.

Шлихи с киноварью большей частью приурочены к зонам разрывных нарушений. Киноварь на территории генетической, очевидно, связана с низкотемпературными гидротермальными растворами,циркулирующими в зонах нарушений. Шлиховые ореолы рассеяния киновари представляют поисковый интерес.

Висмут

Минерал висмута представлен висмутином и бисмутитом, выявленными при шлиховом отработывании, которым установлены две четких шлиховых ореола рассеяния.

Шлиховой ореол (3) площадью около 70 км² охватывает бассейн крупного левого притока р.Иккана, где развиты в основном гранодиориты нижнего мела, прорывающие породы джелонской свиты. Северо-западная часть ореола захватывает основные эф-фузивы усмунской свиты верхнего девона (?). Породы нарушенны двумя разрывами северо-западного простирания. В пределах ореола расположены рудопроявления магнетита (4) и меди (5,7).

Шлиховой ореол (15) площадью 30 км² охватывает бассейн р.Огёй-Кон. В пределах ореола выходят вулканогенные образованием верхней подсвиты джелонской свиты и прорывающие их диориты и гранодиориты ульского интрузивного комплекса, пересеченные разрывными нарушениями северо-восточного простирания.

Количество висмутина и бисмутита в шликах от 1 до 5–8 зерен. В четырех шлихах ореола (3) содержание висмутиновых минералов достигает весовых количеств от 0,073 до 0,4 г/м³. Висмутин встречается реже бисмутита. Он представлен обломками до 0,1 мм серого цвета с металлическим блеском, часто с зеленоватыми налетами и корочками бисмутита. Последний встречен помимо корочек в виде обломков менее 0,1 мм, иногда 0,1–0,5 мм,

желтовато-зеленого или светло-зеленого цвета с матовым блеском. Висмут, кроме того, определен в двух спектрометаллометрических пробах. Его содержание в них достигает 0,1% (туфы нижней подсвиты джелонской свиты по правобережью левого притока р.Иккана) и 0,01% (экзоконтакт интрузии нижнего мела в районе водораздела правого склона долины р.Верх.Диктана). На территории висмутовые минералы могут быть связаны с гидротермально изменившимися породами в экзоконтактных зонах гранитоидных интрузий нижнего мела. Ореолы имеют поисковое значение.

СТРОИТЕЛЬНЫЕ МАТЕРИАЛЫ

К числу строительных материалов на территории листа мож-но отнести интрузионные и эфузивные породы, галечники, а также известняки и пески, которые могут быть использованы как строительный, облицовочный, бутовый камень и цементное сырье. Запасы их, за исключением известняков и песка, практически неогра-ниченны. Из месторождений перечисленных строительных материа-лов можно рекомендовать как наиболее удобные для отработки три: известняков (26), гальки (18) и песка (25).

К а р б о н а т н ы е п о р о д ы

Известняки

Месторождение мраморизованных известняков (26) расположено на правобережье р.Уды, на северных склонах высоты 121 м, близ с.Неран (координаты: 135°23'20" в.д. и 54°41'20" с.ш.). Месторождение представлено линзой мраморизованных известняков мощностью 180 м и протяженностью 1 км, залегающей среди кремнистых пород и основных эфузивов карбонатно-кремнистой толщи нижнего девона (9). Известняки белые, серые, иногда пятнистые. Ориентировочные запасы 1,5 млн.м³. Месторождение периодически разрабатывается кустарным способом с целью изготовления извести для местных нужд. Разработка ведется карьером шириной 40 м с высотой стенок 10–15 м.

О Б Л О М О Ч И Й П О Р О Д І

Галка

Месторождение гальки (18) в устье р.Киран (координаты: $135^{\circ}26'20''$ з.д. и $55^{\circ}01'30''$ с.ш.) представлено в основном гальками с валунами, являющимися алювиальными отложениями от современного до нижнечетвертичного возраста. Примесь валунов нередко значительная (до 20–30%, редко 40%). Размеры их достигают 30–40 см. Заполнитель (от 5–10 до 20–30%) чаще всего гравийно-песчаний. Среди гальников местами встречаются редкие прослои и линзы средне- и мелкозернистого песка мощностью до 1 м. Мощность всего комплекса аллювия, по данным электрозондирования, составляет 60 м. Ориентировочные запасы свыше 200 млн.м³.

Кроме указанного месторождения гальники присутствуют в долинах всех рек территории. Наиболее удобно их разрабатывать в устьях рек, выдающихся в море. Наиболее крупные запасы гальников сосредоточены в бассейне нижнего течения р.Улы.

Песок строительный

Месторождение песка (25) расположено на Морском побережье, в 4,6 км на запад-северо-запад от устья р.Сонки; координаты: $135^{\circ}23'20''$ з.д. и $54^{\circ}41'30''$ с.ш. Здесь, в верхней части разреза среднечетвертичной террасы высотой 30 м, залегает горизонт желтовато-серого среднезернистого полимиктового песка с редкими прослоями и линзами мелкозернистого песка и супеси. Максимальная мощность горизонта 14 м. К востоку мощность его постепенно уменьшается. Мощность пород вскрыши 0,4–1 м. Ориентировочные запасы выше 400 млн.м³.

ОБЩАЯ ОЦЕНКА ПЕРСПЕКТИВ РАЗВИТИЯ МИНЕРАЛЬНОСТИ РЕЙОН БАЗЫ РАЙОНА И РЕКОМЕНДАЦИИ

На описываемой территории широко распространены гидротермально измененные, сильно окварцованные и осветленные породы, вторичные кварциты и участки интенсивной пиритизации, приуроченные, как правило, к экзоконтактовым зонам интрузий ульского комплекса нижнего чифта, река к зонам различных нарушений. С ними связаны различные проявления гидротермальной минерализа-

ции – меди, молибдена, висмута, мышьяка, вольфрама, ртути, серебра, синина, пинка, золота. Необходимо отметить, что интенсивная пиритизация имела место пород находитесь и в эзоконтактовых зонах субэзоконтактных даек андезитовых и дацитовых порфиритов верхней подсвиты джелоинской свиты верхней юры – нижнего мела. Поисковыми работами на территории листа установлены коренные рудопроявления меди, меди и молибдена, золота, выявлены шахтные ореолы рассеяния минералов висмута, молибдениита с галенитом, хиновари, а также спектрометаллометрические ореолы с повышенным содержанием свинца, мышьяка, молибдена со свинцом и пинком, серебра. Все это позволяет положительно оценить перспективы выявления новых, возможно, практически интересных проявлений медных, медно-молибденовых, висмутовых и ртутных руд, а также полиметаллов и золота.

Большой интерес в районе представляют поиски месторождений медно-молибденовых руд и медных руд медно-порфирового типа. Наиболее благоприятными в этом отношении являются бассейны левого крупного притока р.Итканда и р.Олондо. Наличие здесьруд, а также спектрометаллометрического ореола молибдена со свинцом и цинком (II) позволяет рекомендовать постановку в этом районе поисковых работ в масштабе 1:50 000. В этом же районе окончен спектрометаллометрический ореол мышьяка (6) и в некоторых шлифах встречены единичные зерна арсенопирита (истоки левого притока р.Итканда), что говорит о возможности выявления здесь медно-якобиевых блеклых руд. В бассейне левого притока р.Итканда возможно нахождение практически интересных скоплений висмутовых руд (никотин, фискути), что подтверждается четким шахтным ореолом минералов висмута (3), выраженным в этом районе. Не менее перспективной площадью для поисков аналогичных месторождений, а возможно, и промышленно интересных проявлений полиметаллов, является бассейн правых притоков р.Киран к югу от р.Кругнг-Узек, а также бассейн р.Салагат и Отнё, где установлены рудопроявление меди (17), шахтные ореолы молибдениита с галенитом (14), минералов висмута (17), спектрометаллометрические ореолы молибдена со свинцом и пинком (13, 16). Следует отметить, что в гидротермальных проявлениях меди, молибдена, висмута и полиметаллов в качестве примеси может присутствовать серебро, что увеличивает ценность руд перечисленных металлов. Наличие серебра на территории подтверждается спектрометаллометрическими ореолами (2, 10, 12) и содержанием его

во многих других мегалометрических пробах, рассредоточенных по территории.

Перспективными для поисков практически интересных рудо-проявлений рути являемся площади, оконтуренные шлиховыми прое-лями киновари (8, 20) в нижнем течении р.Мал.Джелон и в верх-нем течении р.Налек. Киноварь, судя по приуроченности шлихов с ней к зонам разрывных нарушений, очевидно, генетически связана с низкотемпературными гидротермальными растворами, ширкулирующими в этих зонах. Возраст разрывных нарушений нижнemelовой (р.Мал.Джелон) и условно палеогеновой (р.Налек). Наиболее благоприятными для концентрации киновари являются широкастические породы, пересеченные тектоническими нарушениями и перекрытие туфолавами и лавами.

В отношении золотоносности территории, по всей видимости, малоинтересна. Это отмечали и предыдущие исследователи (Красный, Чемаков, 1952ф; Ключанский, 1953ф и др.). Свободное золото в речных отложениях практически отсутствует. В районе возможно золотое орудение низкотемпературного гидротермально-го типа в сериях тонких кварцевых прожилков, связанных с зонами разрывных нарушений и аналогичных выявленному рудообразую-нию золота (23). Последнее входит в пределы шлихового ореола киновари (20), имеющей алигармальное происхождение, что кос-венно подтверждает низкотемпературность золотого оруденения. На сменной к северо-востоку территории коренное золото связа-но также с участками сульфидной акрепленности в гидротермально-измененных и осветленных породах Джелонской и Немуйканской синт., приуроченных, как правило, к экзоконтактовым зонам гра-никоидных интрузий верхнего мела (Чернявский, Левитан, 1965ф). Аналогичная связь золота, но с гранитидами узкого интрузив-ного комплекса нижнего мела, возможна и на территории листа. Поэтому, несмотря на отрицательные результаты спектролого-метрического и пробирного анализа штуфных проб из участков субдиапазонной выработленности, такие участки при дальнейших работах должны тщательно опробовываться и опробоваться с целью выяв-ления коренных рудообразований золото-сульфидного типа.

Угленосность в районе связана с широкластическими и осадоч-ными отложениями средней части разреза нижней подсвиты Джелонской свиты верхнемелового возраста, содержащими линзообраз-ные прослои и линзы каменного угля, которые довольно широко рас-пространены в прибрежной полосе Ульской губы между реками Лугак и Мал.Джелон. В связи с незначительной мощностью (0,2-10 см,

как исключение, до 35-50 см) и протяженностью (до 5-6 м) про-слоев и линз каменного угля, а также сравнительно небольшой площадью (около 80 км²) развития отложений, включаяющих его, на территории листа трудно ожидать практически интересных скоп-лений каменного угля.

Строительными материалами, кроме глин, территория обеспе-чена. Однако качественная характеристика их не изучена.

ПОДЗЕМНЫЕ ВОДЫ

Наиболее широкое распространение в пределах территории имеют грунтовые воды трещинного типа, приуроченные к зоне вы-ветривания осадочно-вулканических, метаморфических и интрузив-ных пород различного возраста. В рыхлых отложениях днищ речных долин заключены грунтовые поровые воды. Как особый тип вод, необходимо отметить трещинно-жильные воды глубокой циркуляции, приуроченные к зонам разрывных нарушений. Не исключена возмож-ность нахождения в наиболее прогнутых участках северо-восточной части Ульского наложенного прогиба трещинно-пластовых вод, обла-дающих напором. Основное питание подземных вод происходит за счет атмосферных осадков и незначительно за счет конденсацион-ных вод (участки развития развалов и осипей). Поровые воды помимо атмосферных осадков пополняют свои запасы трещинными и частично поверхностью (летне-осенний период) водами.

Многолетняя мерзлота в пределах территории имеет остров-ной характер и существенного влияния на гидрогеологические ус-ловия не оказывает. Однако, по-видимому, на отдельных участ-ках могут быть встречены подмерзлотные воды, обладающие неко-торым напором. Талики, как правило, приурочены к руслям и пой-мам рек, склонам южной экспозиции и зонам разрывных нарушений. Мощность многолетней мерзлоты (по данным электроразведки и бурения) до 10-30 м. Но она не всегда однакова. Минимальная мощность 3,5-7 м отмечается по левобережью р.Улы. На правом берегу этой реки мощность мерзлоты уменьшается от 26 м в райо-не с.Чумикан до 10-15 м в направлении междуречья Сонки - Тыль. В пределах предгорной расщелиненной равнины мощность многолет-ней мерзлоты изменяется от 4 м (р.Игаки) до 25 м (р.Кирен в нижнем течении). В горной части района она не превышает 20-50 м. Кровля многолетней мерзлоты расположена на глубине от 0,3-0,8 (засолоченные участки) до 2,5-5 м.

Горный рельеф, сильная расщепленность территории, кру-
тые уклоны грунтового потока, интенсивная трещиноватость пород
в зоне выветривания создают условия быстрого водообмена. Рав-
грузка подземных вод в густую сеть распадков и речных долин
происходит вследствие обlastей питания. Это подтверждается много-
численными родниками, расположенными в верховых распадков.
Родники, как правило, эрозионного типа, находящиеся. Дебиты их
незначительные (0,01–0,8 л/сек). Лишь в родниках, приуроченных
к зонам некоторых разрывных нарушений, дебиты повышаются до
1–2 л/сек. Площадь поверхности и подземного стока в пределах
территории развития грунтовых трещинных вод практически совпа-
дает. Движение подземных вод направлено в сторону распадков
и долин, а в их пределах соотвествует, в общем, направлению
поверхностного стока. Наиболее обводнены долины и нижние части
склонов, тогда как гребни водоразделов нацело дренированы и
практически безводны. В речных долинах зеркало грунтовых вод
находится обычно вблизи поверхности, а на склонах глубина до
воды достигает нескольких десятков метров.

Воды трещиноватой зоны выветривания характеризуются рез-
ко переменным режимом, особенно в верхних частях склонов.
Это выражается в колебании уровня подземных вод, дебита в род-
ников и в целом ресурсов подземных вод. Трещиноватая зона в
пределах речных долин обводнена на всю мощность. Грунтовые во-
ды аллювиальных отложений днищ речных долин гидравлически свя-
заны с трещинными водами и имеют с ними общий уровень. Колеб-
ление постепенного незначительного и запасы подземных вод изменя-
ются не так сильно во времени, как в пределах горных склонов.
Возможные дебиты скважин 0,1–2 л/сек.

Наиболее водообильны отложения речных долин. Глубина за-
легания уровня аллювиальных вод колеблется от 0,3 до 3 м при
мощности водоносной толщи от 0,5 до 6 м. Благодаря хорошим
фильтрационным свойствам водоизмещающих пород, среди которых
преобладают валуно-гальванические и песчаные отложения, даже
при небольшой мощности водоносного горизонта, вскрытого выра-
ботками, водопритоки будут значительными (до 5–15 л/сек.).
Буровой скважиной в с. Алгазин, расположенной на I надпоймен-
ной террасе р.Уда, пройдена мощная, почти 75-метровая (74,8 м),
толща аллювиальных отложений. Статический уровень воды в сква-
жине 3,5 м. Откачки опробованы интервалы 26,45–31 и 33,5–
44,1 м. При трех понижениях (5; 7,85; 9,7 м) получены следую-
щие дебиты: 4,7; 7,46; 9,26 л/сек. Возможный дебит скважины

данной конструкции при понижении 20 м, рассчитанный по формуле М.Е. Альтовского, составит 14,9 л/сек.

Трещинно-жильные воды приурочены к зонам интенсив-
трещиноватости, которыми обычно сопровождаются разрывные на-
рушения. Эти воды тесно связаны с водами трещиноватой зоны вы-
ветривания, за счет которых и происходит в основном питание
трещиноватых зон разрывных нарушений. Запасы трещинно-жиль-
ных вод зависят главным образом от размеров областей питания. Эти
ные запасы приурочены к долинам рек и ручьев. В случае же из-
размеров областей питания они ограничены и быстро истощаются.
Если же трещинно-жильные воды питаются за счет вод глубокой
циркуляции, то запасы их более стабильны, а сами воды могут
иметь напор. Возможные дебиты скважин, заложенных в долинах
рек и вскрытых зон тектонических нарушений, до 3–10 л/сек.
Это подтверждено буровой скважиной в с. Чумкан, которой из не-
тервала глубины 43,4–92 м пройдены раздробленные и сильные трес-
чиноватые породы зоны разрывного нарушения. Воды вскрытой зоны
на глубине 43,4 м. При опытной откачке с тремя понижени-
ями (14; 12; 9,8 м) из этого горизонта получены дебиты от 0,1–
до 10 л/сек.

Подземные воды территории по химическому составу преимущественно гидрокарбонатные натриево-кальциевые, ультрапрещин-
ные минерализацией до 100–200 мг/л. Реже встречаются смешанные
воды – хлорило-гидрокарбонатные магниево-натриевые и гидро-
карбонатно-хлоридные магниево-кальциевые. Они приурочены
прибрежно-морской полосе района. Их появление объясняется эл-
липтическим морем, которое, однако, распространяется не далее чем 10–
20 км в глубь материка. Как особенность района, следует от-
метить присутствие на отдельных участках в подземных водах соли-
фатов до 36 мг/л. Такие воды сульфатно-гидрокарбонатного на-
чально-кальциевого состава, как правило, приурочены к зонам перегни-
вших пород.

В целом подземные воды всех отработанных водосточных си-
стем относятся к типу инфильтрационных вод вышелачивания и по своему
качествам вполне могут быть использованы для питья и хозяйствен-
ных целей.

Л И Т Е РАТУР А

О ПУБЛИКОВАННАЯ

Альбов О.А., Мощкин В.Н. Основные черты мезозойского интрузивного матматизма восточной части Станового хребта. Инф. сб. ВСЕГЕИ, № 17, 1959.

Терпанович Д.Е. Данные осадки Шантарского района Охотского моря и условия их формирования. Тр. Гос. океанограф. ин-та, вып. 023. М., Гидрометеоиздат, 1955.

Толбенберг В.И., Григораш Г.Ф., Неволин Б.С., Пугачева И.Л. Геологическая карта СССР масштаба 1:200 000, серия Джульгарская, лист 0-53-ХХХЛ. Госгеотехиздат, 1960.

Зубков В.Ф. Геологическая карта СССР масштаба 1:200 000, серия Джульгарская, лист № 53-ЛУ. Госгеотехиздат, 1962.

Королев Г.Г. Новые данные о стратиграфии и тектонике мезозоя Чукского полуострова (Дальний Восток). ДАН СССР, т.159, № 2, 1964.

Красный Л.И. Государственная геологическая карта СССР масштаба 1:1 000 000, лист № -53 (Шантарские острова). Госгеотехиздат, 1955.

Красный Л.И. Геология и полезные ископаемые Западного Приюхотья. Тр. ВСЕГЕИ, нов. сер., т.34. М., 1960.

Мельников М.П. Описание Якутской экспедиции 1851 г. покойного горного инженера Н.Г. Метлицкого. — "Горный журнал", т. IX, № 7, 8, 1856.

Моралев В.М. Тектоника Предджульгарского мезозойского наложенного прогиба. — В кн.: "Тектоника Сибири", т. I. Новосибирск, Изд-во АН СССР, 1962.

Мошкян В.Н. Стратиграфия докембрия Становиц-Джульгары. — В кн.: "Тектоническое строение СССР", т. I. 1958.

Мопкин В.Н. Схема стратиграфии Улско-Зейского района. Инф. сб. ВСЕГЕИ, № 6, 1959.

Нагибин М.С. Тектоника и матматизм Монголо-Охотского пояса. Изд. АН СССР, 1963.

Онижимский В.В. Тектоническое районирование южной части Хабаровского края Амурской и Сахалинской областей. Тр. ДВ Фил. им. В.Л. Комарова АН СССР, сер. геол., т. IV. М.-Л., 1960.

Чемеков Ю.Ф. Геоморфология Примура и смежных территорий. Госгеотехиздат, 1960.

Чемеков Ю.Ф. Стратиграфия четвертичных отложений Нижнего Приамура, Западного Приюхотья и Охотского моря. — Инф. сб. ВСЕГЕИ, № 38, 1960.

Шпак Н.С., Толбенберг В.И., Нухин В.С., Самозинцев В.А. Государственная геодолинейская карта СССР масштаба 1:1 000 000, лист 0-53 (Нелькан). Госгеотехиздат. 1962.

ФОНДОВАЯ X/

Толбенберг В.И. Геологическое строение бассейнов рек Еятома, Магей и Лантарь. 1958.

Торхов С.И., Карапулов В.Б. и др. Геологическое строение, гидрогеологические особенности и полезные ископаемые Шантарских островов и северной части Тугурского полуострова. 1965.

Торхов С.И. и др. Геология, гидрогеология и полезные ископаемые Западного Приюхотья в районе Торома. Лист № -53-ХУ. 1962.

Торхов С.И., Салдутев А.К. и др. Геологическое строение и полезные ископаемые Западного Приюхотья в районе Альского хребта. Лист № -53-ХУЛ (Биранка). 1960.

Зубков В.Ф. Геологическое строение восточной части листа № -53-ЛУ. 1958.

Зубков В.Ф. Отчет по редакционно-уваженным и геологическим работам масштаба 1:200 000 на листе № -53-ЛУ. 1959.

Ключевский Г.Г. Отчет о геологониковых работах на россыпное золото, проведенных в 1950 г. Кыранской геологической партией в бассейне р. Кыран (юго-западное побережье Охотского моря). 1953.

Красный Л.И., Чемеков Ю.Ф. Геология, геоморфология и полезные ископаемые юго-западной части Прибрежного хребта (отчет о геологических и геоморфологических работах в масштабе 1:200 000 и 1:1 000 000 на листе № -53 в 1951 г.). 1952.

X/ Работы хранятся в геологическом фонде ДВГУ.

Леонтьев А.А., Раков Н.А. Основные черты геологии и металлогении центральной части хребта Джукиур. 1940.

Мошкян В.Н. Геологическое строение и полезные ископаемые бассейнов р.Унхан и верхнего течения р.Ман-Половинной. 1956.

Осипова Н.К. Геологическое строение бассейнов рек Тыль и Тором. 1954.

Раков Н.А., Левченко В.А. Геологическое строение бассейнов рек Джаны, Немерикана и Ман-Половинной. 1954.

Ставров А.Л., Тархова М.А. и др. Геологическое строение бассейна верхнего течения р.Северный Ул. 1960.

Трифонов Н.К. Геологические исследования на западном побережье Охотского моря между рр. Салагат и Укой. 1938.

Херувимова Е.Г., Ларионов В.А., Моралев В.М. Отчет по аэромагнитным работам, проведенным в 1956 г. в восточной части Алданского щита. 1957.

Черняевский В.И., Каравулов В.Б. и др. Геология, подземные воды и полезные ископаемые западного и северо-западного побережья Удской губы. Лист №-53-Х. 1961.

Черняевский В.И., Каравулов В.Б. и др. Геологическое строение и полезные ископаемые западного побережья Охотского моря между мысами Маджалина и Борисова (центральные части хребтов Даудаур и Прибрежный). Листы №-53-У, УЛ, №-53-Х (материковая часть). 1965.

Ярмольюк В.А. Отчет о геологических работах Торомской партии 1949 г. 1950.

Приложение I
СПИСОК МАТЕРИАЛОВ, ИСПОЛЬЗОВАННЫХ ДЛЯ СОСТАВЛЕНИЯ КАРТ
ПОЛЕЗНЫХ ИСКОПАЕМЫХ

№ п/п	Фамилия и инициалы автора	Название работы	Год составления материяла, его фондовый № издания	Местонахождение материала, его фондовый № издания
1	Черняевский В.И., Каравулов В.Б. и др.	Геология, подземные воды и полезные ископаемые западного и северо-западного побережья Удской губы. Лист №-53-Х	1961	Фонд 2-го ГГУ, Москва, 64
2	Черняевский В.И., Левитан Г.М. и др.	Геологическое строение и полезные ископаемые западного побережья Охотского моря между мысами Маджалина и Борисова (центральные части хребтов Даудаур и Прибрежный). Листы №-53-У, УЛ, №-53-Х (материковая часть)	1965 Там же, 0463	
3	Красный Л.И., Чемеков Ю.Ф.	Геология, геоморфология и полезные ископаемые юго-западной части Прибрежного хребта (отчет о геологосъемочных и геоморфологических работах в масштабах 1:200 000 и 1:1 000 000 на листе №-53 в 1951 г.)	1952	Фонд ДВГУ, Хабаровск, 3793

Приложение 2

СПИСОК ПРОМЫШЛЕННЫХ МЕСТОРОЖДЕНИЙ ПОЛЕЗНЫХ ИСКОПАЕМЫХ, ПОКАЗАННЫХ НА ЛИСТЕ №-53-Х, XI КАРТЫ ПОЛЕЗНЫХ ИСКОПАЕМЫХ МАСШТАБА 1:200 000

# по кар- те	Индекс клетки на карте	Наименование мес- тодражения и вид полезного ископае- мого	Состояние эксплуа- тации	Тип ме- сторожде- ния (К- коренное, Р-рос- сийское)	# исполь- зован- ного по списку
26	IУ-2	СТРОИТЕЛЬНЫЕ МАТЕРИАЛЫ К а р б о н а т н ы е п о р о д ы	Известники		
27	І-2	р.Уда	Эксплуа- тируется периоди- чески	K	I
28	І-2	р.Керан	Не эксплуа- тируется	P	I
25	IУ-2	р.Сонка	Не эксплуа- тируется	P	I

Приложение 3

СПИСОК ПРОЯВЛЕНИЙ ПОЛЕЗНЫХ ИСКОПАЕМЫХ, ПОКАЗАННЫХ НА ЛИСТЕ №-53-Х, XI КАРТЫ ПОЛЕЗНЫХ ИСКОПАЕМЫХ МАСШТАБА 1:200 000

# по кар- те	Индекс клетки на карте	Наименование проявле- ния (местонахождение) полезного ископае- мого	Характеристика проявления	# исполь- зованного материала по списку (при- лож. I)
22	І-3	р.Биракачан	Линзообразные прослои камен- ного угля	I
24	І-3	р.Олондо	Прослои и лин- зы каменного угля	I
4	1-2	Водораздел рек Іл- канда и Налек	Вскрытность магнетита в андезитовых порфиритах	I
9	І-3	р.Налек	Вскрытность магнетита в андезито-да- зальтах	I

		1	2	3	4	5		
		1	2	3	4	5		
П р е т н и е м е т а л л и								
Медь								
5	I-2	р.Икандо	Включение мала- хита в кварцевой жиле	I	Миньят	I		
6	I-2	Водораздел рек Ол- тондо и Икандо	Благородные ме- тали	Золото	Спектрометалло- метрический ореол	I		
7	I-2	р.Олондо	Вкрашенность пирита и халько- ниита в тонких кварцевых проил- ках, приуроченных к зоне разрывного нарушения	I	Кварцевые проил- ки в зоне разрыв- ного нарушения	I		
17	II-1	р.Огнё	Вкрашенность пи- рита и редкая - халькопирита, бор- нита, ковеллина во вторичных квар- цитах	I	Серебро	I		
21	II-3	р.Олондо	Вкрашенность и лигнизиция пирита и широкотинне, редкие вкрашеннники халь- копирита и борни- та в рудных лин- зах	I, 3	I-1	Бассейн р.Киран	Спектрометалломет- рический ореол	I
				I	1-3	Бассейн р.Большой Джетон	То же	I
				I	1-5	Бассейн р.Бонгас	"	2
Р е д к и е м е т а л л и								
Мolibден								
I	I-1	Бассейн рек Тала- кан, Манаки	Свинец	I-1	П-1	Бассейн р.Огнё	Шлекховой ореол мolibденита с га- ленитом	I
				I	1-3	Бассейн р.Олондо	Спектрометалло- метрический ореол мolibденина со свин- цом и галенитом	I
				I	П-1	Бассейн рек Огнё и Сагат	То же	I

1	2	3	4	5
---	---	---	---	---

СОДЕРЖАНИЕ

16	II-1	Бассейн р.Салагат	Спектрометрико- метрический ореол молибдена со свини- цом и цинком	I
Медно-молибденовые проявления				
19	II-3	р.Олондо	Вскрытность молибденита, халь- копирита, гнездо- вая якобинитность никита, примазки малахита во вто- ричных кварцитах	I, 3
8	I-3	Бассейн рек Налек и Мал.Джелон	Шлиховой ореол киновар	I
20	II-3	Бассейн р.Мал.Дже- лон	То же	I
Руды				
8	I-3	Бассейн рек Налек и Мал.Джелон	Шлиховой ореол киновар	I
3	1-2	Бассейн р.Иланда	Шлиховой ореол висмутина и бис- мутита	I
15	II-1	Бассейн р.Огнё-Кон	То же	I
В брошюре пронумеровано 90 стр.				
Редактор М.А. Трифонова Технический редактор Е.М. Павлова Корректор И.И. Богданович				
Сдано в печать 22/II 1974 г. Подписано к печати 28/IV 1977 г. Тираж 198 экз. Формат 60Х90/16 Печ. л. 5,75 Заказ 450с				
Производственное хозрасчетное предприятие Всесоюзного геологического фонда				

Стр.